

EIN AUSFÜHLICHER BEWEIS DER CHUDNOVSKY-FORMEL MIT ELEMENTARER FUNKTIONENTHEORIE

A DETAILED PROOF OF THE CHUDNOVSKY FORMULA WITH MEANS OF BASIC COMPLEX ANALYSIS

LORENZ MILLA, SEPTEMBER 2018

$$\frac{1}{\pi} = 12 \cdot \sum_{n=0}^{\infty} \frac{(-1)^n (6n)!}{(3n)!(n!)^3} \cdot \frac{13591409 + 545140134n}{640320^{3n+3/2}}$$

ABSTRACT. In this paper (written in German) we give another proof of the Chudnovsky formula for calculating π – a proof in detail with means of basic complex analysis.

With the exception of the tenth chapter, the proof is self-contained, with proofs provided for all the advanced theorems we use (e.g. for the Clausen formula and for the Picard-Fuchs differential equation).

ZUSAMMENFASSUNG. In diesem Aufsatz wird die Chudnovsky-Formel zur Berechnung von π erneut bewiesen – wesentlich ausführlicher, mit elementaren Methoden der Funktionentheorie und der Analysis.

Die benötigten fortgeschrittenen Sätze (z.B. die Clausen-Formel und die Picard-Fuchs-Differentialgleichung) werden ihrerseits ausführlich bewiesen. Nur im zehnten Kapitel verweisen wir auf externe Quellen.

KOMMENTIERTES INHALTSVERZEICHNIS

Einleitung	3
1. Hypergeometrische Funktionen und Clausen-Formel	4
<p style="margin-left: 20px;"><i>Die Clausen-Formel wird bewiesen. Auch die für den Beweis benötigten hypergeometrischen Differentialgleichungen werden bewiesen. Man kann dieses Kapitel zunächst überspringen und mit Kapitel 2 beginnen.</i></p>	
2. Elliptische Funktionen	9
<p style="margin-left: 20px;"><i>Alle für die Herleitung der Chudnovsky-Formel benötigten Begriffe und Sätze werden entwickelt.</i></p>	
3. Quasiperioden und ihre Integraldarstellung	12
<p style="margin-left: 20px;"><i>Die „Quasiperioden“ eines Gitters werden mit Hilfe der Weierstraß'schen ζ-Funktion definiert. Es folgt eine alternative Darstellung der Perioden und Quasiperioden mit Hilfe elliptischer Integrale.</i></p>	
4. Äquivalente Gitter und die absolute Invariante J	14
<p style="margin-left: 20px;"><i>Zwei Gitter, die durch eine Drehstreckung auseinander hervorgehen, werden „äquivalent“ genannt. Äquivalente Gitter haben die gleiche absolute Invariante J. Nach diesem Kapitel könnte man direkt zu Kapitel 7 springen.</i></p>	
5. Fourierentwicklungen	16
<p style="margin-left: 20px;"><i>Die Fourierentwicklungen der normierten Eisensteinreihen werden bewiesen.</i></p>	
6. Einige Abschätzungen der J- und der s_2-Funktion	22
<p style="margin-left: 20px;"><i>Die hier bewiesenen Abschätzungen garantieren, dass Kummers Lösung in Kapitel 8 konvergiert und ermöglichen die Berechnungen in Kapitel 10.</i></p>	
7. Picard-Fuchs-Differentialgleichung	29
<p style="margin-left: 20px;"><i>Dieser Beweis der Picard-Fuchs-Differentialgleichung kann direkt im Anschluss an Kapitel 4 gelesen werden.</i></p>	
8. Kummers Lösung	32
<p style="margin-left: 20px;"><i>Mit Hilfe einer Kummer'schen Lösung der Picard-Fuchs-Differentialgleichung wird ein Zusammenhang zwischen den Perioden eines Gitters und einer hypergeometrischen Funktion hergestellt.</i></p>	
9. Beweis des Haupttheorems	36
<p style="margin-left: 20px;"><i>Das Haupttheorem 9.7 wird bewiesen, ausgehend von Kummers Lösung und mit Hilfe der Clausen-Formel und der Fourierdarstellungen.</i></p>	
10. Berechnung der Koeffizienten	40
<p style="margin-left: 20px;"><i>Die exakten Werte von $s_2(\tau_N)$ und $J(\tau_N)$ werden mit Hilfe der Abschätzungen aus Kapitel 6 explizit berechnet. So entsteht aus Theorem 9.7 die Chudnovsky-Formel und zehn weitere Formeln zur Berechnung von π.</i></p>	
Literatur	44

EINLEITUNG

Die Chudnovsky-Formel zur Berechnung von π lautet:

$$\frac{1}{\pi} = 12 \cdot \sum_{n=0}^{\infty} \frac{(-1)^n (6n)!}{(3n)!(n!)^3} \cdot \frac{13591409 + 545140134n}{640320^{3n+3/2}}$$

Diese Formel liefert mit jedem weiteren Summanden mindestens 14 weitere Dezimalen. Sie wurde für die meisten aktuellen Pi-Berechnungs-Weltrekorde verwendet. Zuletzt (im November 2016) wurden $22 \cdot 10^{12}$ Dezimalen von Peter Trueb berechnet – man benötigt allein zum Abspeichern des Ergebnisses 9 Terabyte Speicherplatz. Wenn man es ausdrucken würde, wäre der Buchstapel etwa 100 km dick.

In diesem Aufsatz werden wir die Chudnovsky-Formel ausführlich beweisen. Vorausgesetzt werden nur grundlegende Kenntnisse der Funktionentheorie und der Analysis, z.B. Quotientenkriterium, Leibnizregel, Laurentreihen, Residuensatz, Satz von Liouville und der Satz von Picard-Lindelöf.

Wir werden mit Hilfe der normierten Eisensteinreihen

$$\begin{aligned} E_2(\tau) &:= 1 - 24 \sum_{n=1}^{\infty} n \frac{q^n}{1-q^n} \quad \text{mit } q := e^{2\pi i \tau} \text{ und } Im(\tau) > 0 \\ E_4(\tau) &:= 1 + 240 \sum_{n=1}^{\infty} n^3 \frac{q^n}{1-q^n} \\ E_6(\tau) &:= 1 - 504 \sum_{n=1}^{\infty} n^5 \frac{q^n}{1-q^n} \end{aligned}$$

zwei weitere Funktionen definieren:

$$\begin{aligned} s_2(\tau) &:= \frac{E_4(\tau)}{E_6(\tau)} \left(E_2(\tau) - \frac{3}{\pi Im(\tau)} \right) \\ J(\tau) &:= \frac{E_4(\tau)^3}{E_4(\tau)^3 - E_6(\tau)^2} \end{aligned}$$

Außerdem werden wir die Clausen-Formel, die Picard-Fuchs-Differentialgleichung und eine Kummer'sche hypergeometrische Lösung der Picard-Fuchs-Differentialgleichung beweisen und mit diesen Hilfsmitteln das folgende Theorem vollständig beweisen:

9.7. Theorem. Für alle τ mit $Im(\tau) > 1,25$ gilt die folgende Gleichung von David und Gregory Chudnovsky aus dem Jahr 1988 [5, Glg. (1.4)]:

$$\frac{1}{2\pi Im(\tau)} \sqrt{\frac{J(\tau)}{J(\tau) - 1}} = \sum_{n=0}^{\infty} \left(\frac{1 - s_2(\tau)}{6} + n \right) \cdot \frac{(6n)!}{(3n)!(n!)^3} \cdot \frac{1}{(1728J(\tau))^n}$$

Hierbei muss man den Hauptzweig der Quadratwurzel verwenden.

Die Chudnovsky-Formel ist dann ein Spezialfall dieser Gleichung, man muss noch $\tau = \frac{1+i\sqrt{163}}{2}$ einsetzen und $J(\tau)$ sowie $s_2(\tau)$ berechnen¹. Wir werden auch noch zehn andere passende Werte für τ einsetzen und dadurch zehn weitere Formeln zur Berechnung von π erhalten (siehe Seite 43), wovon zwei auf Ramanujan zurückgehen.

¹Die Berechnung dieser Koeffizienten $s_2(\tau)$ und $J(\tau)$ werden wir explizit durchführen – allerdings würde ein Beweis, dass die Koeffizienten exakt die berechneten Werte haben, deutlich mehr als elementare Funktionentheorie benötigen. Deshalb verweisen wir an zwei Stellen ab S. 40 (in den Beweisen der Theoreme 10.1 und 10.3) auf Literatur, in der bewiesen wird, dass $1728J$ ganzzahlig bzw. dass s_2 rational ist. Außerdem verbleibt an einer Stelle (ebenfalls auf S. 40) leider die unbewiesene Vermutung 10.2.

1. HYPERGEOMETRISCHE FUNKTIONEN UND CLAUSEN-FORMEL

Ziel dieses Kapitels ist der Beweis der Formel von Clausen (siehe Theorem 1.7). Der Beweis folgt dem Originalartikel von Clausen aus dem Jahr 1828 ([6], S. 89–91), allerdings in heutiger Notation mit Pochhammer-Symbolen. Auch die für den Beweis benötigten hypergeometrischen Differentialgleichungen (Theorem 1.5 und Satz 1.6) werden hergeleitet (sie werden bei [6] als bekannt vorausgesetzt).

Man kann dieses Kapitel zunächst überspringen und mit Kapitel 2 beginnen.

1.1. Definition. Das Pochhammer-Symbol $(a)_n$ ist für natürliches n wie folgt definiert:

$$(a)_0 := 1 \quad \text{und} \quad (a)_{n+1} := (a)_n \cdot (a + n)$$

Hieraus folgt $(1)_n = n!$ für alle n ; und $(a)_n = a(a + 1)(a + 2) \cdots (a + n - 1)$, falls $n > 0$ ist.

1.2. Definition. Die hypergeometrische Funktion ${}_2F_1$ und die verallgemeinerte hypergeometrische Funktion ${}_3F_2$ lauten:

$$\begin{aligned} {}_2F_1(a, b; c; z) &= \sum_{n=0}^{\infty} \frac{(a)_n \cdot (b)_n}{(c)_n} \cdot \frac{z^n}{n!} \\ {}_3F_2(\alpha, \beta, \gamma; \delta, \varepsilon; z) &= \sum_{n=0}^{\infty} \frac{(\alpha)_n \cdot (\beta)_n \cdot (\gamma)_n}{(\delta)_n \cdot (\varepsilon)_n} \cdot \frac{z^n}{n!} \end{aligned}$$

1.3. Satz. ${}_2F_1(a, b; c; z)$ und ${}_3F_2(\alpha, \beta, \gamma; \delta, \varepsilon; z)$ konvergieren für $|z| < 1$ absolut.

Beweis. Das folgt aus dem Quotientenkriterium:

$$\frac{(a)_{n+1} \cdot (b)_{n+1}}{(c)_{n+1}} \cdot \frac{z^{n+1}}{(n+1)!} \cdot \frac{(c)_n}{(a)_n \cdot (b)_n} \cdot \frac{n!}{z^n} = \frac{(a+n)(b+n)}{(c+n)(n+1)} \cdot z$$

wobei der Bruch vor z gegen 1 geht und somit, falls $|z| < 1$ ist, der Ausdruck für große n betragsmäßig auch kleiner als 1 wird. Die Konvergenz von ${}_3F_2$ folgt analog. \square

1.4. Satz. Wenn $f(z) = \sum_{n=0}^{\infty} A_n \frac{z^n}{n!}$ als Potenzreihe gegeben ist, dann gilt im absoluten Konvergenzbereich der Reihe:

$\begin{aligned} f(z) &:= \sum_{n=0}^{\infty} A_n \frac{z^n}{n!} \\ z f'(z) &= \sum_{n=0}^{\infty} n A_n \frac{z^n}{n!} \\ z^2 f''(z) &= \sum_{n=0}^{\infty} n(n-1) A_n \frac{z^n}{n!} \\ z^3 f'''(z) &= \sum_{n=0}^{\infty} n(n-1)(n-2) A_n \frac{z^n}{n!} \end{aligned}$	$\begin{aligned} f'(z) &= \sum_{n=0}^{\infty} A_{n+1} \frac{z^n}{n!} \\ z f''(z) &= \sum_{n=0}^{\infty} n A_{n+1} \frac{z^n}{n!} \\ z^2 f'''(z) &= \sum_{n=0}^{\infty} n(n-1) A_{n+1} \frac{z^n}{n!} \end{aligned}$
--	---

Beweis. Weil die Reihe $f(z)$ nach Voraussetzung absolut konvergiert, dürfen wir Summation und Ableitung vertauschen. Die Formeln folgen dann direkt aus der Definition von $f(z)$. Bei den linken Formeln wird nicht gekürzt, damit man es später beim Koeffizientenvergleich leichter hat. Für die Formeln der rechten Spalte wird zunächst bei $f'(z) = \sum_{n=0}^{\infty} A_n \frac{n \cdot z^{n-1}}{n!} = \sum_{n=1}^{\infty} A_n \frac{n \cdot z^{n-1}}{n!} = \sum_{n=1}^{\infty} A_n \frac{z^{n-1}}{(n-1)!}$ der nullte Summand weggelassen (der sowieso Null ist), dann wird mit n gekürzt. Jetzt folgt noch eine Indexverschiebung um 1 und wir erhalten die oberste Formel der rechten Spalte, nämlich $f'(z) = \sum_{m=0}^{\infty} A_{m+1} \frac{z^m}{m!}$. Für die weiteren Formeln der rechten Spalte wird wieder aufs Kürzen und Indexverschieben verzichtet. \square

1.5. Theorem. Die hypergeometrische Funktion $f(z) = {}_2F_1(a, b; c; z)$ erfüllt die hypergeometrische Differentialgleichung:

$$z(z-1)f''(z) + [(a+b+1)z - c]f'(z) + abf(z) = 0$$

Beweis. Wir führen den Beweis mit Hilfe eines Koeffizientenvergleichs. Die hypergeometrische Funktion lautet $f(z) = \sum_{n=0}^{\infty} A_n \frac{z^n}{n!}$ mit $A_n := \frac{(a)_n \cdot (b)_n}{(c)_n}$. Die Definition 1.1 der Pochhammersymbole sagt $(a)_{n+1} = (a)_n \cdot (a+n)$ und somit

$$\begin{aligned} A_{n+1} &= \frac{(a+n)(b+n)}{(c+n)} \cdot A_n \\ \implies (c+n) \cdot A_{n+1} &= (n^2 + (a+b)n + ab) \cdot A_n \\ \implies (c+n) \cdot A_{n+1} &= (n(n-1) + (a+b+1)n + ab) \cdot A_n \\ \implies c \cdot A_{n+1} + n \cdot A_{n+1} &= n(n-1) \cdot A_n + (a+b+1)n \cdot A_n + ab \cdot A_n \end{aligned}$$

Wenn wir nun Satz 1.4 verwenden, erkennen wir an dieser Koeffizientengleichung:

$$\begin{aligned} cf'(z) + zf''(z) &= z^2 f''(z) + (a+b+1)zf'(z) + abf(z) \\ \implies z(z-1)f''(z) + [(a+b+1)z - c]f'(z) + abf(z) &= 0 \end{aligned}$$

Somit ist bewiesen, dass die hypergeometrische Funktion die genannte Differentialgleichung erfüllt. \square

1.6. Satz. Die verallgemeinerte hypergeometrische Funktion $g(z) = {}_3F_2(\alpha, \beta, \gamma; \delta, \varepsilon; z)$ erfüllt die folgende Differentialgleichung:

$$\begin{aligned} (z^3 - z^2) \cdot g'''(z) + [(\alpha + \beta + \gamma + 3)z^2 - (\delta + \varepsilon + 1)z] \cdot g''(z) \\ + [(1 + \alpha + \beta + \gamma + \alpha\beta + \alpha\gamma + \beta\gamma)z - \delta\varepsilon] \cdot g'(z) + \alpha\beta\gamma \cdot g(z) = 0 \end{aligned}$$

Beweis. Wir verwenden wieder einen Koeffizientenvergleich als Beweis, völlig analog zum Beweis von Theorem 1.5. Die verallgemeinerte hypergeometrische Funktion lautet $g(z) = \sum_{n=0}^{\infty} A_n \frac{z^n}{n!}$ mit den Koeffizienten $A_n := \frac{(\alpha)_n \cdot (\beta)_n \cdot (\gamma)_n}{(\delta)_n \cdot (\varepsilon)_n}$. Die Definition 1.1 der Pochhammersymbole sagt $(a)_{n+1} = (a)_n \cdot (a+n)$ und somit

$$\begin{aligned} A_{n+1} &= \frac{(\alpha+n)(\beta+n)(\gamma+n)}{(\delta+n)(\varepsilon+n)} \cdot A_n \\ \implies (\delta+n)(\varepsilon+n) \cdot A_{n+1} &= (\alpha+n)(\beta+n)(\gamma+n) \cdot A_n \\ \implies [n^2 + (\delta+\varepsilon)n + \delta\varepsilon]A_{n+1} &= [n^3 + (\alpha+\beta+\gamma)n^2 + (\alpha\beta + \alpha\gamma + \beta\gamma)n + \alpha\beta\gamma]A_n \end{aligned}$$

Jetzt ist aber $n^2 = n(n-1) + 1n$ und $n^3 = n(n-1)(n-2) + 3n^2 - 2n$, also gilt

$$\begin{aligned} &[n(n-1) + (\delta+\varepsilon+1)n + \delta\varepsilon] \cdot A_{n+1} \\ &= [n(n-1)(n-2) + (\alpha+\beta+\gamma+3)n^2 + (\alpha\beta + \alpha\gamma + \beta\gamma - 2)n + \alpha\beta\gamma] \cdot A_n \\ \implies n(n-1)A_{n+1} + (\delta+\varepsilon+1)nA_{n+1} + \delta\varepsilon A_{n+1} &= n(n-1)(n-2)A_n \\ &\quad + (\alpha+\beta+\gamma+3)n^2 A_n + (\alpha\beta + \alpha\gamma + \beta\gamma - 2)nA_n + \alpha\beta\gamma A_n \\ \implies n(n-1)A_{n+1} + (\delta+\varepsilon+1)nA_{n+1} + \delta\varepsilon A_{n+1} &= n(n-1)(n-2)A_n \\ &\quad + (\alpha+\beta+\gamma+3)n(n-1)A_n \\ &\quad + (\alpha\beta + \alpha\gamma + \beta\gamma - 2 + \alpha + \beta + \gamma + 3)nA_n + \alpha\beta\gamma A_n \end{aligned}$$

Wenn wir nun Satz 1.4 verwenden, erkennen wir an dieser Koeffizientengleichung:

$$\begin{aligned} & z^2 \cdot g'''(z) + (\delta + \varepsilon + 1)z \cdot g''(z) + \delta\varepsilon \cdot g'(z) \\ &= z^3 \cdot g'''(z) + (\alpha + \beta + \gamma + 3)z^2 g''(z) \\ &+ (\alpha\beta + \alpha\gamma + \beta\gamma + \alpha + \beta + \gamma + 1)z \cdot g'(z) + \alpha\beta\gamma \cdot g(z) \\ \implies & [z^3 - z^2] \cdot g'''(z) + [(\alpha + \beta + \gamma + 3)z^2 - (\delta + \varepsilon + 1)z] \cdot g''(z) \\ &+ [(\alpha\beta + \alpha\gamma + \beta\gamma + \alpha + \beta + \gamma + 1)z - \delta\varepsilon] \cdot g'(z) + \alpha\beta\gamma \cdot g(z) = 0 \end{aligned}$$

Somit ist bewiesen, dass die verallgemeinerte hypergeometrische Funktion die genannte Differentialgleichung erfüllt. \square

1.7. Theorem. Es gilt die Formel von Clausen aus dem Jahr 1828, nämlich

$$\left({}_2F_1 \left(a, b; a + b + \frac{1}{2}; z \right) \right)^2 = {}_3F_2 \left(2a, 2b, a + b; 2a + 2b, a + b + \frac{1}{2}; z \right).$$

Insbesondere gilt für $a = \frac{1}{12}$ und $b = \frac{5}{12}$:

$$\left({}_2F_1 \left(\frac{1}{12}, \frac{5}{12}; 1; z \right) \right)^2 = {}_3F_2 \left(\frac{1}{6}, \frac{5}{6}, \frac{1}{2}; 1, 1; z \right).$$

Beweis. Wir zeigen zunächst, dass beide Seiten der Gleichung derselben Differentialgleichung dritter Ordnung genügen.

Zunächst betrachten wir die rechte Seite. Das ist die verallgemeinerte hypergeometrische Funktion ${}_3F_2$, für die wir in Satz 1.6 bereits eine Differentialgleichung bewiesen haben. Wir müssen nur noch $\alpha = 2a$, $\beta = 2b$, $\gamma = a + b$, $\delta = 2a + 2b$ und $\varepsilon = a + b + \frac{1}{2}$ einsetzen und erhalten:

$$\begin{aligned} (1) \quad & [z^3 - z^2] \cdot g'''(z) + \left[3(a + b + 1)z^2 - 3 \left(a + b + \frac{1}{2} \right) z \right] \cdot g''(z) \\ &+ [(1 + 3a + 3b + 8ab + 2a^2 + 2b^2)z - (a + b)(2a + 2b + 1)] \cdot g'(z) \\ &+ 4ab(a + b) \cdot g(z) = 0 \end{aligned}$$

Jetzt kommen wir zur linken Seite, die wir $g(z)$ nennen. Hier steht das Quadrat einer Potenzreihe, deshalb wird es wesentlich komplizierter. Wir werden zeigen, dass auch $h(z) := \left({}_2F_1 \left(a, b; a + b + \frac{1}{2}; z \right) \right)^2$ eine Lösung der Differentialgleichung (1) ist.

Zunächst gilt für $f(z) = {}_2F_1 \left(a, b; a + b + \frac{1}{2}; z \right)$ die Differentialgleichung aus Theorem 1.5, wobei $c = a + b + \frac{1}{2}$ ist:

$$\begin{aligned} (2) \quad & (z^2 - z) f''(z) + [(a + b + 1)z - c] f'(z) + abf(z) = 0 & | \cdot z \\ (3) \quad & (z^3 - z^2) f''(z) + [(a + b + 1)z^2 - cz] f'(z) + abzf(z) = 0 & \left| \frac{d}{dz} \right. \\ (4) \quad & (z^3 - z^2) f'''(z) + [(a + b + 4)z^2 - (c + 2)z] f''(z) \\ &+ [(ab + 2a + 2b + 2)z - c] f'(z) + abf(z) = 0 \end{aligned}$$

Im letzten Schritt wurde die Gleichung nach z abgeleitet – hierbei mussten wir die Produktregel beachten und dann ähnliche Terme gruppieren. Nun bilden wir (wie von Clausen [6] vorgeschlagen) eine Linearkombination der Gleichungen (2), (3) und (4), nämlich:

$$(2a + 2b - 1) \cdot 2f(z) \cdot (2) + 6f'(z) \cdot (3) + 2f(z) \cdot (4)$$

Diese Linearkombination lautet ausgeschrieben:

$$(5) \quad \begin{aligned} 0 = & (2a + 2b - 1) \cdot 2f \cdot \left[\underline{\underline{(z^2 - z)f''}} + \underline{\underline{((a + b + 1)z - c)f'}} + \underline{abf} \right] \\ & + 6f' \cdot \left[\underline{\underline{(z^3 - z^2)f''}} + \underline{\underline{((a + b + 1)z^2 - cz)f'}} + \underline{abzf} \right] \\ & + 2f \cdot \left[\underline{\underline{\underline{(z^3 - z^2)f'''}}} + \underline{\underline{\underline{((a + b + 4)z^2 - (c + 2)z)f''}}} + \underline{\underline{\underline{((ab + 2a + 2b + 2)z - c)f'}}} + \underline{abf} \right] \end{aligned}$$

Jetzt werden wir die verschiedenen Terme in Gleichung (5) zusammenfassen, um weiter unten Gleichung (6) zu erhalten. Die dreifach unterstrichenen Summanden in (5) enthalten die dritten Ableitungen:

$$\underline{\underline{\underline{2ff''' + 6f'f''}}} \cdot [z^3 - z^2]$$

Die zweifach unterstrichenen Summanden in (5) enthalten die zweiten Ableitungen:

$$\begin{aligned} & \underline{\underline{2ff''}} \cdot \underbrace{[(2a + 2b - 1) \cdot (z^2 - z) + (a + b + 4)z^2 - (c + 2)z]}_{=: A_1} \\ & + \underline{\underline{2f'^2}} \cdot \underbrace{[3(a + b + 1)z^2 - 3(a + b + 1/2)z]}_{=: A_2} \\ & = \underline{\underline{2f'f'' + 2f'^2}} \cdot [3(a + b + 1)z^2 - 3(a + b + 1/2)z], \end{aligned}$$

$$\text{denn } A_1 = (2a + 2b - 1 + a + b + 4)z^2 - (2a + 2b - 1 + a + b + 1/2 + 2)z = A_2$$

Die einfach unterstrichenen Summanden in (5) enthalten die ersten Ableitungen:

$$\begin{aligned} & \underline{2ff'} \cdot [(2a + 2b - 1) \cdot ((a + b + 1)z - c) + 3abz + ((ab + 2a + 2b + 2)z - c)] \\ & = \underline{2ff'} \cdot [((2a + 2b - 1)(a + b + 1) + 4ab + 2a + 2b + 2)z - ((2a + 2b - 1)c + c)] \\ & = \underline{2ff'} \cdot [(1 + 3a + 3b + 8ab + 2a^2 + 2b^2)z - (a + b)(2a + 2b + 1)] \end{aligned}$$

Die nicht unterstrichenen Summanden in (5) enthalten keine Ableitungen:

$$\{f^2\} \cdot [2ab \cdot (2a + 2b - 1) + 2ab] = \{f^2\} \cdot [4ab(a + b)]$$

Insgesamt geht Gleichung (5) also über in:

$$(6) \quad \begin{aligned} & [z^3 - z^2] \cdot \{2ff''' + 6f'f''\} \\ & + \left[3(a + b + 1)z^2 - 3\left(a + b + \frac{1}{2}\right)z \right] \cdot \{2ff'' + 2f'^2\} \\ & + [(1 + 3a + 3b + 8ab + 2a^2 + 2b^2)z - (a + b)(2a + 2b + 1)] \cdot \{2ff'\} \\ & + [4ab(a + b)] \cdot f^2 = 0 \end{aligned}$$

und wir erkennen, dass der Inhalt der eckigen Klammern genau so auch in Gleichung (1) vorkam. Nun gilt aber auch noch, dass $h(z) = (f(z))^2$, und somit:

$$(7) \quad \begin{aligned} h(z) &= (f(z))^2 \\ h'(z) &= 2f(z)f'(z) \\ h''(z) &= 2f(z)f''(z) + 2(f'(z))^2 \\ h'''(z) &= 2f'(z)f''(z) + 2f(z)f'''(z) + 4f'(z)f''(z) \\ &= 2f(z)f'''(z) + 6f'(z)f''(z) \end{aligned}$$

Wir können also für die geschweiften Klammern in (6) die Ableitungen von $h(z)$ einsetzen und haben bewiesen, dass auch $h(z) = \left({}_2F_1(a, b; a + b + \frac{1}{2}; z)\right)^2$ eine Lösung der Differentialgleichung (1) ist.

Wir müssen jetzt noch zeigen, dass die beiden Lösungen sogar gleich sind, also dass $h(z) = g(z)$ gilt. Da es sich um eine Differentialgleichung dritter Ordnung handelt, müssen wir z.B. für $z = 0$ zeigen, dass die Funktionswerte und die ersten beiden Ableitungen paarweise übereinstimmen. Hierfür verwenden wir die Notation $A_n := \frac{(a)_n \cdot (b)_n}{(a+b+1/2)_n}$ für die Koeffizienten von $f(z)$. Die ersten drei dieser Koeffizienten lauten (vgl. Def. 1.1):

$$\begin{aligned} A_0 &= \frac{(a)_0 \cdot (b)_0}{(a+b+1/2)_0} = \frac{1 \cdot 1}{1} = 1 \\ A_1 &= \frac{(a)_1 \cdot (b)_1}{(a+b+1/2)_1} = \frac{a \cdot b}{a+b+\frac{1}{2}} \\ A_2 &= \frac{(a)_2 \cdot (b)_2}{(a+b+1/2)_2} = \frac{a(a+1) \cdot b(b+1)}{(a+b+\frac{1}{2})(a+b+\frac{3}{2})} \end{aligned}$$

Somit gilt für $h(z) = (f(z))^2$ wegen der Ableitungsdarstellungen (7):

$$\begin{aligned} h(0) &= (f(0))^2 = A_0^2 = 1 \\ h'(0) &= 2f(0)f'(0) = 2A_0A_1 = \frac{2ab}{a+b+\frac{1}{2}} \\ h''(0) &= 2f(0)f''(0) + 2(f'(0))^2 = 2A_0A_2 + 2A_1^2 \\ &= \frac{2ab(a+1)(b+1)}{(a+b+1/2)(a+b+3/2)} + \frac{2a^2b^2}{(a+b+1/2)^2} \\ &= \frac{ab(4a^2b + 4ab^2 + 8ab + 2a^2 + 2b^2 + 3a + 3b + 1)}{(a+b+1/2)^2(a+b+3/2)} \end{aligned}$$

Für die andere Lösung $g(z) = {}_3F_2(\alpha, \beta, \gamma; \delta, \varepsilon; z)$ gilt:

$$\begin{aligned} g(0) &= \frac{(\alpha)_0 \cdot (\beta)_0 \cdot (\gamma)_0}{(\delta)_0 \cdot (\varepsilon)_0} = 1 = h(0) \\ g'(0) &= \frac{(\alpha)_1 \cdot (\beta)_1 \cdot (\gamma)_1}{(\delta)_1 \cdot (\varepsilon)_1} = \frac{\alpha\beta\gamma}{\delta\varepsilon} = \frac{2a \cdot 2b \cdot (a+b)}{(2a+2b) \cdot (a+b+\frac{1}{2})} = \frac{2ab}{a+b+\frac{1}{2}} = h'(0) \\ g''(0) &= \frac{(\alpha)_2 \cdot (\beta)_2 \cdot (\gamma)_2}{(\delta)_2 \cdot (\varepsilon)_2} = \frac{\alpha(\alpha+1)\beta(\beta+1)\gamma(\gamma+1)}{\delta(\delta+1)\varepsilon(\varepsilon+1)} \\ &= \frac{2a(2a+1)2b(2b+1)(a+b)(a+b+1)}{(2a+2b)(2a+2b+1)(a+b+\frac{1}{2})(a+b+\frac{3}{2})} \\ &= \frac{ab(2a+1)(2b+1)(a+b+1)}{(a+b+1/2)^2(a+b+3/2)} \\ &= \frac{ab(4a^2b + 4ab^2 + 8ab + 2a^2 + 2b^2 + 3a + 3b + 1)}{(a+b+1/2)^2(a+b+3/2)} = h''(0) \end{aligned}$$

Insgesamt gilt also wegen des Satzes von Picard-Lindelöf $h(z) = g(z)$ und wir haben die Formel von Clausen bewiesen. \square

2. ELLIPTISCHE FUNKTIONEN

In diesem Kapitel werden alle für den Beweis der Chudnovsky-Formel benötigten Begriffe und Sätze entwickelt. Die Notation und einige Beweise orientieren sich an [7]. Dort findet man auch ausführlichere Erläuterungen und Zusammenhänge.

2.1. Definition. Zu jedem Paar (ω_1, ω_2) komplexer Zahlen, die \mathbb{R} -linear unabhängig sind (also gilt $\omega_2/\omega_1 \notin \mathbb{R}$) nennt man

$$L = \mathbb{Z}\omega_1 + \mathbb{Z}\omega_2 = \{m\omega_1 + n\omega_2 \mid m, n \in \mathbb{Z}\} \subset \mathbb{C}$$

ein „Gitter“. ω_1 und ω_2 heißen dann auch „Basisperioden“ des Gitters.

2.2. Definition. Eine „elliptische Funktion zum Gitter L “ ist eine meromorphe Funktion $f : \mathbb{C} \rightarrow \mathbb{C} \cup \{\infty\}$ mit der Eigenschaft

$$f(z + \omega) = f(z) \quad \text{für alle } \omega \in L \text{ und } z \in \mathbb{C}$$

„Meromorph“ bedeutet, dass f keine außerwesentlichen Singularitäten hat, dass die Polstellenmenge von f keinen Häufungspunkt hat, und dass f außerhalb der Polstellen analytisch ist. Um nachzuweisen, dass eine meromorphe Funktion elliptisch ist, reicht es zu prüfen, ob $f(z + \omega_1) = f(z) = f(z + \omega_2)$ für die beiden Basisperioden des Gitters gilt – deshalb nennt man elliptische Funktionen auch „doppeltperiodisch“.

2.3. Satz (Erster Liouville'scher Satz). Jede elliptische Funktion ohne Polstellen ist konstant.

Beweis. Eine elliptische Funktion f nimmt jeden ihrer Werte schon in der Grundmasche $\mathcal{P} = \{s\omega_1 + t\omega_2 \mid 0 \leq s, t \leq 1\}$ an. Diese ist beschränkt und abgeschlossen (ein Parallelogramm, siehe Abb. 1 auf S. 13), und deshalb besitzt f wie jede stetige Funktion hier ein Maximum. Aus der Periodizität folgt, dass f auf ganz \mathbb{C} beschränkt und somit nach dem Satz von Liouville konstant ist. \square

2.4. Definition. Es sei $L = \mathbb{Z}\omega_1 + \mathbb{Z}\omega_2$ ein Gitter. Dann ist die Weierstraß'sche σ -Funktion zu diesem Gitter wie folgt definiert:

$$\sigma(z; L) := z \cdot \prod_{\substack{\omega \in L \\ \omega \neq 0}} \left\{ \left(1 - \frac{z}{\omega} \right) \cdot \exp \left(\frac{z}{\omega} + \frac{1}{2} \left(\frac{z}{\omega} \right)^2 \right) \right\}$$

Die σ -Funktion wird in Kapitel 5 weiter untersucht, siehe z.B. Satz 5.4.

2.5. Bemerkung. Dieses Produkt konvergiert aufgrund des Exponentialfaktors absolut, und die Nullstellen von $\sigma(z; L)$ sind genau die Punkte des Gitters L . Es sind einfache Nullstellen. Trotzdem ist die σ -Funktion nicht doppeltperiodisch.

2.6. Definition. Die Weierstraß'sche ζ -Funktion zu einem Gitter L ist als logarithmische Ableitung der σ -Funktion definiert, wobei das Produkt wegen $\ln(a \cdot b) = \ln a + \ln b$ in eine Summe übergeht:

$$\begin{aligned} \zeta(z; L) &:= \frac{d}{dz} \ln \sigma(z; L) = \frac{d}{dz} (\ln z) + \sum_{\substack{\omega \in L \\ \omega \neq 0}} \frac{d}{dz} \left\{ \ln \left(1 - \frac{z}{\omega} \right) + \frac{z}{\omega} + \frac{1}{2} \left(\frac{z}{\omega} \right)^2 \right\} \\ &= \frac{1}{z} + \sum_{\substack{\omega \in L \\ \omega \neq 0}} \left(\frac{1}{z - \omega} + \frac{1}{\omega} + \frac{z}{\omega^2} \right) \end{aligned}$$

Die ζ -Funktion wird in Kapitel 3 weiter untersucht, siehe z.B. Definition 3.2.

2.7. Definition. Die Weierstraß'sche \wp -Funktion ist definiert als die negative Ableitung der Weierstraß'schen ζ -Funktion:

$$\wp(z; L) := -\zeta'(z; L) = \frac{1}{z^2} + \sum_{\substack{\omega \in L \\ \omega \neq 0}} \left(\frac{1}{(z - \omega)^2} - \frac{1}{\omega^2} \right)$$

2.8. Bemerkung. Die Ableitung der Weierstraß'schen \wp -Funktion lautet:

$$\wp'(z; L) = \sum_{\omega \in L} \frac{-2}{(z - \omega)^3}$$

2.9. Satz. $\wp(z; L)$ ist eine gerade und $\wp'(z; L)$ ist eine ungerade Funktion, d.h.

$$\wp(-z; L) = \wp(z; L) \quad \text{und} \quad \wp'(-z; L) = -\wp'(z; L)$$

Beweis. Das folgt daraus, dass mit ω auch $-\omega$ alle Gitterpunkte durchläuft:

$$\begin{aligned} \wp(-z; L) &= \frac{1}{(-z)^2} + \sum_{\substack{\omega \in L \\ \omega \neq 0}} \left(\frac{1}{(-z - \omega)^2} - \frac{1}{\omega^2} \right) \\ &= \frac{1}{z^2} + \sum_{\substack{-\omega \in L \\ -\omega \neq 0}} \left(\frac{1}{(z - (-\omega))^2} - \frac{1}{(-\omega)^2} \right) = \wp(z; L) \\ \wp'(-z; L) &= \sum_{\omega \in L} \frac{-2}{(-z - \omega)^3} = - \sum_{-\omega \in L} \frac{-2}{(z - (-\omega))^3} = -\wp'(z; L) \end{aligned} \quad \square$$

2.10. Satz. Die Weierstraß'sche \wp -Funktion ist doppeltperiodisch, d.h. für alle $\omega \in L$ gilt $\wp(z + \omega; L) = \wp(z; L)$.

Beweis. Man sieht sofort, dass \wp' doppeltperiodisch ist, weil über alle Gitterpunkte summiert wird und keine weiteren Terme in der Summe stehen. Also gilt $\wp'(z + \omega) - \wp'(z) = 0$ und somit $\wp(z + \omega) - \wp(z) = \text{const}$. Wenn wir für ω eine der Basisperioden des Gitters wählen, dann ist $-\frac{\omega}{2} \notin L$. Wir erhalten den Wert der Konstanten mit Hilfe von Satz 2.9: $\wp\left(-\frac{\omega}{2} + \omega\right) - \wp\left(-\frac{\omega}{2}\right) = \wp\left(\frac{\omega}{2}\right) - \wp\left(-\frac{\omega}{2}\right) = 0$. Es folgt $\wp(z + \omega) = \wp(z)$ für alle Basisperioden des Gitters L und somit auch für alle anderen Gitterpunkte. \square

2.11. Satz. Die Nullstellen von \wp' sind genau diejenigen Stellen $\frac{\omega}{2}$, die selbst nicht im Gitter liegen, für die aber ω im Gitter liegt. Wenn $L = \mathbb{Z}\omega_1 + \mathbb{Z}\omega_2$ ist, gilt also

$$\wp'\left(\frac{\omega_1}{2}\right) = \wp'\left(\frac{\omega_2}{2}\right) = \wp'\left(\frac{\omega_1 + \omega_2}{2}\right) = 0$$

Beweis. Sei $\omega_k \in L$ so gewählt, dass $\frac{\omega_k}{2} \notin L$. Dann durchläuft mit ω auch $\omega' = \omega + \omega_k$ alle Gitterpunkte und es gilt:

$$\begin{aligned} \wp'\left(-\frac{\omega_k}{2}; L\right) &= \sum_{\omega \in L} \frac{-2}{\left(-\frac{\omega_k}{2} - \omega\right)^3} = \sum_{\omega' \in L} \frac{-2}{\left(-\frac{\omega_k}{2} - (\omega' - \omega_k)\right)^3} \\ &= \sum_{\omega' \in L} \frac{-2}{\left(\frac{\omega_k}{2} - \omega'\right)^3} = \wp'\left(\frac{\omega_k}{2}; L\right) \end{aligned}$$

Weil \wp' nach Satz 2.9 eine ungerade Funktion ist und weil nach Voraussetzung $\pm\frac{\omega_k}{2} \notin L$ ist, gilt $\wp'\left(-\frac{\omega_k}{2}; L\right) = -\wp'\left(\frac{\omega_k}{2}; L\right)$. Folglich muss $\wp'\left(\frac{\omega_k}{2}; L\right) = 0$ sein. \square

2.12. Definition. Die Reihen $G_n = G_n(L) := \sum_{\substack{\omega \in L \\ \omega \neq 0}} \omega^{-n}$ heißen „Eisensteinreihen zum Gitter L “ und konvergieren für natürliche $n \geq 3$ absolut.

2.13. Satz. Die Eisensteinreihen mit ungeradem Gewicht verschwinden.

Beweis. Wenn n ungerade ist, dann gilt für alle $\omega \in L - \{0\}$, dass sich die Summanden ω^{-n} und $(-\omega)^{-n} = -(\omega^{-n})$ gegenseitig aufheben. \square

2.14. Satz. Die Weierstraß'sche \wp -Funktion lässt sich in der Nähe von $z = 0$ durch folgende Laurentreihe darstellen:

$$\wp(z; L) = \frac{1}{z^2} + \sum_{n=1}^{\infty} (2n+1) \cdot G_{2n+2}(L) \cdot z^{2n}$$

Insbesondere gilt dort auch

$$\wp(z; L) = \frac{1}{z^2} + 3G_4(L)z^2 + 5G_6(L)z^4 + \sum_{n=3}^{\infty} (2n+1)G_{2n+2}(L) \cdot z^{2n}$$

Beweis. Wir untersuchen zunächst $f(z) := \wp(z; L) - \frac{1}{z^2}$. Bei $z = 0$ folgt direkt aus der Definition 2.7 der \wp -Funktion, dass $f(0) = 0$ ist. Für die Ableitungen von $f(z)$ bei $z = 0$ folgt dann mit Hilfe der Darstellung von \wp' aus Bemerkung 2.8:

$$f^{(n)}(z) = (-1)^n (n+1)! \sum_{\substack{\omega \in L \\ \omega \neq 0}} \frac{1}{(z-\omega)^{n+2}} \quad \text{falls } n \geq 1$$

Hieraus folgt (wegen Satz 2.13), dass die ungeraden Ableitungen bei $z = 0$ verschwinden, und dass für die geraden gilt:

$$f^{(2n)}(0) = (-1)^{2n} (2n+1)! \sum_{\substack{\omega \in L \\ \omega \neq 0}} \frac{1}{(-\omega)^{2n+2}} = (2n+1)! \sum_{\substack{\omega \in L \\ \omega \neq 0}} \frac{1}{\omega^{2n+2}} = (2n+1)! \cdot G_{2n+2}$$

mit den Eisensteinreihen aus Definition 2.12. Insgesamt haben wir also bewiesen, dass $f(z) = \sum_{n=1}^{\infty} \frac{f^{(2n)}(0)}{(2n)!} \cdot z^{2n} = \sum_{n=1}^{\infty} (2n+1)G_{2n+2} \cdot z^{2n}$ gilt, und wir sind fertig. \square

2.15. Satz. Es gilt folgende algebraische Differentialgleichung der \wp -Funktion zum Gitter L :

$$\wp'(z)^2 = 4\wp(z)^3 - g_2\wp(z) - g_3$$

$$\text{mit } g_2 = g_2(L) := 60G_4(L) = 60 \sum_{\substack{\omega \in L \\ \omega \neq 0}} \omega^{-4}$$

$$\text{und } g_3 = g_3(L) := 140G_6(L) = 140 \sum_{\substack{\omega \in L \\ \omega \neq 0}} \omega^{-6}$$

Beweis. (vgl. [7], Thm. V.3.4, S. 276). Wir verwenden den Anfang der Laurentreihe aus Satz 2.14 und zeigen, dass die Funktion $h(z) := \wp'(z)^2 - 4\wp(z)^3 + 60G_4\wp(z)$ keine Pole hat und somit wegen Satz 2.3 konstant ist.

$$\begin{aligned} \wp(z; L) &= z^{-2} + 3G_4z^2 + 5G_6z^4 + O(z^6) \\ \implies \wp(z; L)^2 &= z^{-4} + 6G_4 + 10G_6z^2 + O(z^4) \\ \implies \wp(z; L)^3 &= \wp(z; L)^2 \cdot \wp(z; L) = z^{-6} + 9G_4z^{-2} + 15G_6 + O(z^2) \\ \text{und } \wp'(z; L) &= -2z^{-3} + 6G_4z + 20G_6z^3 + O(z^5) \\ \implies \wp'(z; L)^2 &= 4z^{-6} - 24G_4z^{-2} - 80G_6 + O(z^2) \\ \implies \wp'(z; L)^2 - 4\wp(z; L)^3 &= -60G_4z^{-2} - 140G_6 + O(z^2) \\ \implies \wp'(z; L)^2 - 4\wp(z; L)^3 + 60G_4\wp(z; L) &= -140G_6 + O(z^2) \end{aligned}$$

$h(z)$ hat also bei $z = 0$ keinen Pol. Weil $h(z)$ aufgrund seiner Definition doppeltperiodisch ist, hat $h(z)$ also auch in den anderen Gitterpunkten keine Pole, und außerhalb der Gitterpunkte haben sowieso weder \wp noch \wp' Pole, insofern ist $h(z)$ eine elliptische Funktion ohne Pole. Der konstante Wert von $h(z)$ ergibt sich zu $-140G_6$ und wir erhalten $\wp'(z; L)^2 = 4\wp(z; L)^3 - 60G_4(L)\wp(z; L) - 140G_6(L)$, was zu zeigen war. \square

3. QUASIPERIODEN UND IHRE INTEGRALDARSTELLUNG

In diesem Abschnitt definieren wir den Begriff „Quasiperiode“ eines Gitters mit Hilfe der Weierstraß'schen ζ -Funktion und geben eine alternative Darstellung der Perioden und Quasiperioden mit Hilfe elliptischer Integrale an. Hierfür benötigen wir die Differentialgleichung der \wp -Funktion aus Satz 2.15.

3.1. Satz. *Die Weierstraß'sche ζ -Funktion ist zwar nicht doppeltperiodisch, aber immerhin ist der Wert der „Quasiperiode“*

$$\eta(\omega; L) := \zeta(z + \omega; L) - \zeta(z; L)$$

unabhängig von der Wahl von z (solange $z \notin L$).

Beweis. Wenn wir $\zeta(z + \omega; L) - \zeta(z; L)$ als Funktion von z betrachten und nach z ableiten, erhalten wir nach Def. 2.7 $-\wp(z + \omega; L) - (-\wp(z; L)) = \wp(z; L) - \wp(z + \omega; L)$. Nach Satz 2.10 ist das Null, also ist $\zeta(z + \omega; L) - \zeta(z; L)$ konstant bezüglich z . Diese Konstante hängt dann noch vom Gitter L und von der Wahl von ω ab. \square

3.2. Definition. *Man nennt die folgenden Werte $\eta_1(L)$ und $\eta_2(L)$ auch „Basis-Quasiperoden“ des Gitters $L = \mathbb{Z}\omega_1 + \mathbb{Z}\omega_2$:*

$$\eta_k(L) := \zeta(z + \omega_k; L) - \zeta(z; L)$$

Bemerkung: durch wiederholte Anwendung der Beziehung aus Satz 3.1 folgt, dass diese beiden Werte sämtliche anderen Quasiperioden $\eta(\omega; L)$ wie ein Gitter erzeugen, deshalb heißen sie „Basis“-Quasiperoden.

3.3. Bemerkung. *In Definition 3.2 erkennen wir, dass η_k angibt, um wie viel der Wert der ζ -Funktion zunimmt, wenn man das Argument um ω_k verändert. Die in der Literatur üblichen Begriffe „Periode des Gitters“ und „Quasiperiode des Gitters“ sind also eigentlich unpassend:*

- Für ω_k sollte man statt „Periode des Gitters L “ besser „Periode der \wp -Funktion zum Gitter L “ sagen.
- Für η_k sollte man statt „Quasiperiode des Gitters“ besser „Gewindesteigung oder Ganghöhe der ζ -Funktion zum Gitter L “ sagen.

Wir werden trotzdem die üblichen Begriffe „Periode des Gitters“ und „Quasiperiode des Gitters“ verwenden.

3.4. Satz (Legendre'sche Relation). *Für die Basisperioden und zugehörigen Basisquasiperoden des Gitters $L = \mathbb{Z}\omega_1 + \mathbb{Z}\omega_2$ gilt die sogenannte „Legendre'sche Relation“:*

$$\eta_1\omega_2 - \eta_2\omega_1 = 2\pi i$$

Beweis. Wir integrieren um ein verschobenes Periodenparallelogramm P_v , das genau einen Gitterpunkt (den bei 0) enthält. Dann gilt wegen des Residuensatzes

$$\int_{\delta P_v} \zeta(z) dz = 2\pi i,$$

weil die ζ -Funktion in P_v nur den Pol bei 0 mit Residuum 1 hat (siehe Def. 2.6). Andererseits kann man unter Verwendung der Definition 3.2 der Quasiperioden die Integrale längs gegenüberliegender Kanten zusammenfassen: die beiden zu ω_1 parallelen Kanten liefern einen Beitrag von $-\eta_2\omega_1$, die beiden zu ω_2 parallelen Kanten liefern $\eta_1\omega_2$. Insgesamt lautet der Wert des Integrals also $\eta_1\omega_2 - \eta_2\omega_1 = 2\pi i$. \square

3.5. Definition. *Seien g_2 und g_3 komplexe Zahlen. Dann ist*

$$X(g_2, g_3) := \{(x, y) \in \mathbb{C}^2 \mid y^2 = 4x^3 - g_2x - g_3\}$$

ein Beispiel einer „ebenen affinen Kurve“. Wenn ein Gitter L gegeben ist, dann kann man mit $g_2 = g_2(L)$ und $g_3 = g_3(L)$ aus Satz 2.15 auch schreiben:

$$X(L) = X(g_2(L), g_3(L))$$

3.6. Satz. Die Zuordnung Φ mit

$$\begin{aligned}\Phi : \mathbb{C} - L &\rightarrow X(g_2(L), g_3(L)) \subset \mathbb{C}^2 \\ z &\mapsto (\wp(z; L), \wp'(z; L))\end{aligned}$$

ist wohldefiniert, differenzierbar und doppeltperiodisch.

Beweis. Die Wohldefiniertheit folgt direkt aus der Differentialgleichung der \wp -Funktion in Satz 2.15 und der dazu passend gewählten Definition von $X(g_2(L), g_3(L))$. Φ ist doppeltperiodisch und differenzierbar, weil sowohl \wp als auch \wp' doppeltperiodisch und differenzierbar sind. \square

3.7. Definition. Es sei $L = \mathbb{Z}\omega_1 + \mathbb{Z}\omega_2$ ein Gitter mit Basisperioden ω_1 und ω_2 . Dann definieren wir die beiden Wege β_1 und β_2 wie folgt:

$$\begin{aligned}\beta_1(t) &:= \frac{1}{4} \cdot \omega_2 + t \cdot \omega_1 \quad \text{für } 0 \leq t \leq 1 \\ \beta_2(t) &:= \frac{1}{4} \cdot \omega_1 + t \cdot \omega_2 \quad \text{für } 0 \leq t \leq 1\end{aligned}$$

3.8. Bemerkung. Die in 3.7 definierten Wege β_k sind in Abbildung 1 zu sehen. Auf den Wegen liegen keine Polstellen von \wp und \wp' (schwarze Punkte im Bild); und keine Nullstellen von \wp' (Kreise im Bild).

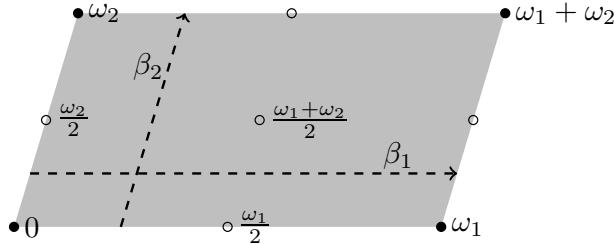


ABBILDUNG 1. Periodenparallelogramm mit Gitterpunkten (Polstellen von \wp und \wp') und halben Gitterpunkten (Nullstellen von \wp') und den Wegen β_k aus Def. 3.7.

3.9. Satz. Es sei $L = \mathbb{Z}\omega_1 + \mathbb{Z}\omega_2$. Dann definieren wir mit Hilfe der Wege β_k aus Def. 3.7 zwei Wege $\alpha_k := (\wp(\beta_k), \wp'(\beta_k))$. Diese Wege α_k sind geschlossene Wege durch die ebene affine Kurve $X(g_2(L), g_3(L))$. Die Basisperioden bzw. Basisquasiperioden des Gitters kann man dann durch die folgenden elliptischen Integrale darstellen:

$$\omega_k = \oint_{\alpha_k} \frac{dx}{y} \quad \text{sowie} \quad \eta_k(L) = - \oint_{\alpha_k} \frac{x \, dx}{y}$$

Beweis. Die Wege α_k sind tatsächlich Wege durch $X(g_2(L), g_3(L))$, weil mit der Differentialgleichung der \wp -Funktion (Satz 2.15) folgt, dass die definierende Gleichung aus Def. 3.5 für alle Punkte auf α_k erfüllt ist. Aus $\beta_k(1) = \beta_k(0) + \omega_k$ folgt $\wp(\beta_k(0)) = \wp(\beta_k(1))$ und Gleichtes für \wp' . Also ist $\alpha_k(0) = \alpha_k(1)$ und somit sind die Wege α_k geschlossen. Mit $(x, y) = (\wp(z), \wp'(z))$ entlang der Wege α_k folgt dann $\frac{dx}{dz} = \wp'(z)$ und somit

$$\begin{aligned}\oint_{\alpha_k} \frac{dx}{y} &= \int_{\beta_k} \frac{\wp'(z) dz}{\wp'(z)} = \int_{\beta_k} dz = \beta_k(1) - \beta_k(0) = \omega_k \\ \text{und} \quad - \oint_{\alpha_k} \frac{x \, dx}{y} &= - \int_{\beta_k} \frac{\wp(z) \wp'(z) dz}{\wp'(z)} = \int_{\beta_k} -\wp(z) dz \\ &= \int_{\beta_k} \zeta'(z) dz = \zeta(z + \omega_k; L) - \zeta(z; L) = \eta_k(L)\end{aligned} \quad \square$$

4. ÄQUIVALENTE GITTER UND DIE ABSOLUTE INVARIANTE J

In diesem Kapitel werden wir sehen, dass zwei Gitter, die durch eine Drehstreckung auseinander hervorgehen, „äquivalent“ genannt werden können und dass äquivalente Gitter die gleiche absolute Invariante J haben. Außerdem werden wir einige äquivalente Darstellungen des Gitters $L = \mathbb{Z}\omega_1 + \mathbb{Z}\omega_2$ benennen.

4.1. Definition. (siehe [7], Kap. V.7, S. 309) Zwei Gitter L und L' , die durch eine Drehstreckung $L' = a \cdot L$ mit $a \in \mathbb{C}$ auseinander hervorgehen ($a \neq 0$), heißen äquivalent.

4.2. Bemerkung. Für jede elliptische Funktion $f(z)$ zum Gitter L ist $g(z) = f\left(\frac{z}{a}\right)$ eine elliptische Funktion zum Gitter $L' = a \cdot L$. Deshalb nennt man L und L' auch äquivalent.

4.3. Satz. Zu jedem Gitter $L = \mathbb{Z}\omega_1 + \mathbb{Z}\omega_2$ gibt es ein äquivalentes Gitter $L_\tau = \mathbb{Z} + \mathbb{Z}\tau$, wobei τ in der oberen Halbebene \mathbb{H} liegt.

Beweis. Wähle den Faktor $a = \frac{1}{\omega_1}$, dann gilt $L' = a \cdot L = \mathbb{Z} + \mathbb{Z} \cdot \frac{\omega_2}{\omega_1}$. Falls $\operatorname{Im}\left(\frac{\omega_2}{\omega_1}\right) > 0$ ist, setzen wir $\tau = \frac{\omega_2}{\omega_1}$. Falls $\operatorname{Im}\left(\frac{\omega_2}{\omega_1}\right) < 0$ ist, setzen wir $\tau = -\frac{\omega_2}{\omega_1}$ (das ist immer noch das gleiche Gitter, nur ein anderer Basisvektor). Der Fall $\operatorname{Im}\left(\frac{\omega_2}{\omega_1}\right) = 0$ ist ausgeschlossen, weil sonst $\frac{\omega_2}{\omega_1} \in \mathbb{R}$ wäre und somit L kein Gitter wäre (vgl. Def. 2.1). \square

4.4. Definition. Gegeben sei ein Gitter $L \subset \mathbb{C}$. Mit den Definitionen von $g_2(L)$ und $g_3(L)$ aus Satz 2.15 definieren wir die „Diskriminante“ Δ des Gitters und die „absolute Invariante“ J des Gitters:

$$\begin{aligned}\Delta(L) &:= g_2^3(L) - 27g_3^2(L) \\ J(L) &:= \frac{g_2^3(L)}{g_2^3(L) - 27g_3^2(L)}\end{aligned}$$

4.5. Bemerkung. Wenn wir uns auf ein Gitter der Form $L_\tau = \mathbb{Z} + \mathbb{Z}\tau$ beziehen, schreiben wir kurz $g_2(\tau)$ statt $g_2(L_\tau)$. Ebenso schreiben wir abkürzend $g_3(\tau)$, $G_k(\tau)$, $\Delta(\tau)$ und $J(\tau)$.

4.6. Satz. Wenn $L' = a \cdot L$ ein zu L äquivalentes Gitter mit $a \neq 0$ ist, dann gilt folgende Transformationsformel für die Eisensteinreihen:

$$G_k(aL) = a^{-k} \cdot G_k(L)$$

und folglich:

$$g_2(aL) = a^{-4}g_2(L) \quad \text{und} \quad g_3(aL) = a^{-6}g_3(L)$$

Hieraus wiederum folgt

$$\Delta(aL) = a^{-12}\Delta(L) \quad \text{und} \quad J(aL) = J(L)$$

Insbesondere ändert sich der Wert der absoluten Invariante J nicht, wenn man zu einem äquivalenten Gitter übergeht. Das rechtfertigt den Namen Invariante.

Beweis. Das ist eine direkte Folge aus der Definition 2.12 der Eisensteinreihen:

$$G_k(aL) = \sum_{\substack{\omega' \in aL \\ \omega' \neq 0}} \omega'^{-k} = \sum_{\substack{\omega' \in aL \\ \omega' \neq 0}} \left(\frac{\omega'}{a}\right)^{-k} \cdot a^{-k} = a^{-k} \cdot \sum_{\substack{\omega \in L \\ \omega \neq 0}} \omega^{-k} = a^{-k} \cdot G_k(L)$$

wobei $\omega' = a \cdot \omega$ verwendet wurde. Es folgt $g_2(aL) = 60G_4(aL) = a^{-4} \cdot g_2(L)$ sowie $g_3(aL) = 140G_6(aL) = a^{-6} \cdot g_3(L)$. Schließlich erhalten wir die Diskriminante $\Delta(aL) = (a^{-4})^3 g_2^3(L) - 27(a^{-6})^2 g_3^2(L) = a^{-12} \cdot \Delta(L)$ und die absolute Invariante $J(aL) = J(L)$, die sich also bei einer Drehstreckung des Gitters nicht ändert. \square

4.7. Satz. Für die Perioden und Quasiperioden von $L' = a \cdot L$ gilt:

$$\omega'_k = a \cdot \omega_k \quad \text{und} \quad \eta_k(L') = \frac{1}{a} \cdot \eta_k(L).$$

Beweis. Die Gleichung für die Perioden folgt aus der Multiplikation des Gitters mit der Zahl a . Weiter folgt mit Def. 3.2 und Satz 3.1 für beliebiges $z \in \mathbb{C} \setminus (L \cup L')$:

$$\eta_k(L') = \eta_k(aL) = \zeta(z + a\omega_k; aL) - \zeta(z; aL) = \zeta(az + a\omega_k; aL) - \zeta(az; aL)$$

Dann verwenden wir die Definition 2.6 der ζ -Funktion und erhalten:

$$\zeta(az; aL) = \frac{1}{az} + \sum_{\substack{\omega \in aL \\ \omega \neq 0}} \left(\frac{1}{az - \omega} + \frac{1}{\omega} + \frac{az}{\omega^2} \right)$$

Jetzt folgt ein Variablenwechsel $v := \omega/a$. Aus $\omega \in aL$ folgt dann $v \in L$ und somit:

$$\zeta(az; aL) = \frac{1}{az} + \sum_{\substack{v \in L \\ v \neq 0}} \left(\frac{1}{az - av} + \frac{1}{av} + \frac{az}{(av)^2} \right) = \frac{1}{a} \zeta(z; L)$$

Derselbe Variablenwechsel liefert analog $\zeta(az + a\omega_k; aL) = \frac{1}{a} \zeta(z + \omega_k; L)$ und

$$\eta_k(L') = \zeta(az + a\omega_k; aL) - \zeta(az; aL) = \frac{1}{a} \zeta(z + \omega_k; L) - \frac{1}{a} \zeta(z; L) = \frac{1}{a} \cdot \eta_k(L) \quad \square$$

4.8. Definition. Gegeben ist das Gitter $L_\tau = \mathbb{Z} + \mathbb{Z}\tau$. Dann definieren wir ein zu L_τ äquivalentes Gitter L_J durch

$$L_J := \mu(\tau) \cdot L_\tau \quad \text{mit} \quad \mu(\tau) := \sqrt{\frac{g_3(L_\tau)}{g_2(L_\tau)}}$$

Die Basisperioden von L_J bezeichnen wir im Folgenden mit (Ω_1, Ω_2) und die zugehörigen Basisquasiperioden $\eta_k(L_J)$ bezeichnen wir mit (H_1, H_2) .

4.9. Bemerkung. Für beliebige Basisperioden ω_1 und ω_2 gilt

$$\mathbb{Z}\omega_1 + \mathbb{Z}\omega_2 = \mathbb{Z} \cdot (-\omega_1) + \mathbb{Z} \cdot (-\omega_2).$$

Deshalb ist es egal, für welchen Zweig der Quadratwurzel man sich bei $\mu(\tau)$ entscheidet.

4.10. Satz. Die ebene affine Kurve zum Gitter L_J hat eine Darstellung, die nur von der absoluten Invarianten J des Gitters L_J abhängt (deshalb nennt man das Gitter L_J). Diese lautet:

$$X(L_J) = \left\{ (x, y) \in \mathbb{C}^2 \mid y^2 = 4x^3 - \frac{27J}{J-1}(x+1) \right\}$$

Beweis. Aus dem Transformationsverhalten der g_2 und g_3 in Satz 4.6 folgt mit $L_J = \mu(\tau) \cdot L_\tau$:

$$\begin{aligned} g_2(L_J) &= \mu(\tau)^{-4} \cdot g_2(L_\tau) = \frac{g_2(L_\tau)^2}{g_3(L_\tau)^2} \cdot g_2(L_\tau) = \frac{g_2(L_\tau)^3}{g_3(L_\tau)^2} \\ g_3(L_J) &= \mu(\tau)^{-6} \cdot g_3(L_\tau) = \frac{g_2(L_\tau)^3}{g_3(L_\tau)^3} \cdot g_3(L_\tau) = \frac{g_2(L_\tau)^3}{g_3(L_\tau)^2} \end{aligned}$$

Im Gitter L_J gilt also $g_2(L_J) = g_3(L_J) =: g$. Die absolute Invariante des Gitters L_J ist dann nach Definition 4.4:

$$J = \frac{g^3}{g^3 - 27g^2} = \frac{g}{g-27} \implies g = \frac{27J}{J-1}$$

und wir erhalten die angekündigte ebene affine Kurve mit der Gleichung

$$y^2 = 4x^3 - g_2(L_J)x - g_3(L_J) = 4x^3 - g(x+1) = 4x^3 - \frac{27J}{J-1}(x+1). \quad \square$$

4.11. Bemerkung. In Satz 4.3 haben wir gesehen, dass es zu jedem Gitter L ein äquivalentes Gitter L_τ gibt, wobei τ in der oberen Halbebene liegt. Allerdings ist z.B. $L_\tau = L_{\tau+1}$, d.h. es gibt unter den Gittern L_τ noch weitere äquivalente Gitter. Es gilt (ohne Beweis): Zwei Gitter sind genau dann äquivalent zueinander, wenn ihre absoluten Invarianten gleich sind.

5. FOURIERENTWICKLUNGEN

In diesem Kapitel beweisen wir das folgende Theorem, in dem die Fourierreihen einiger Funktionen in Abhängigkeit von L_τ bzw. von τ angegeben sind:

5.1. Theorem. Wenn $\operatorname{Im}(\tau) > 0$ ist, dann gilt für $q = e^{2\pi i \tau}$, dass $|q| < 1$ ist und somit die folgenden „normierten Eisensteinreihen“ E_2 , E_4 und E_6 absolut konvergieren:

$$\begin{aligned} E_2(\tau) &:= 1 - 24 \sum_{n=1}^{\infty} n \frac{q^n}{1-q^n} \\ E_4(\tau) &:= 1 + 240 \sum_{n=1}^{\infty} n^3 \frac{q^n}{1-q^n} \\ E_6(\tau) &:= 1 - 504 \sum_{n=1}^{\infty} n^5 \frac{q^n}{1-q^n} \end{aligned}$$

Mit ihrer Hilfe können wir die in Def. 3.2 und Satz 2.15 bereits anders definierten Ausdrücke $\eta_1(L_\tau)$, $g_2(L_\tau)$ und $g_3(L_\tau)$ äquivalent darstellen:

$$\begin{aligned} \eta_1(L_\tau) &= \zeta(z+1; L_\tau) - \zeta(z; L_\tau) = \frac{\pi^2}{3} \cdot E_2(\tau) \\ g_2(\tau) &= g_2(L_\tau) = 60 \cdot G_4(L_\tau) = \frac{4}{3} \pi^4 \cdot E_4(\tau) \\ g_3(\tau) &= g_3(L_\tau) = 140 \cdot G_6(L_\tau) = \frac{8}{27} \pi^6 \cdot E_6(\tau) \end{aligned}$$

Und mit Hilfe der neuen Darstellungen für $g_2(L_\tau)$ und $g_3(L_\tau)$ können wir dann auch die Diskriminante des Gitters L_τ und die absolute Invariante J aus Def. 4.4 äquivalent darstellen:

$$\begin{aligned} \Delta(\tau) &= \Delta(L_\tau) = \frac{(2\pi)^{12}}{1728} \cdot (E_4(\tau)^3 - E_6(\tau)^2) \\ J(\tau) &= J(L_\tau) = \frac{E_4(\tau)^3}{E_4(\tau)^3 - E_6(\tau)^2} \end{aligned}$$

Diesen Ausdruck nennen wir ab jetzt nicht nur „absolute Invariante des Gitters L_τ “, sondern auch „J-Funktion“, da sie jedem τ aus der oberen Halbebene eine komplexe Zahl zuordnet.

Sobald dieses Theorem vollständig bewiesen ist, werden wir es als Definition für die genannten Begriffe verwenden.

Für den Beweis des Theorems werden wir in Satz 5.4 die Weierstraß'sche $\sigma(z; L_\tau)$ -Funktion aus Definiton 2.4 mit Hilfe von $q = e^{2\pi i \tau}$ und $q_z = e^{2\pi i z}$ darstellen. Daraus werden die Darstellungen von η_1 , g_2 und g_3 per Koeffizientenvergleich folgen. Schließlich werden wir die neuen Darstellungen von g_2 und g_3 in die alte Definition 4.4 von Δ und J einsetzen und die neuen Darstellungen für Δ und J erhalten.

Der vorliegende Beweis folgt [11], Kap. 18, §1-3 – dort wird die Darstellung von η_1 bewiesen. Es ist nur eine kleine Ergänzung, aus diesem komplizierten Gedankengang heraus auch noch die Darstellungen von g_2 und g_3 zu berechnen. Wenn man nicht an der Darstellung von η_1 interessiert ist und nur die von g_2 und g_3 beweisen möchte, gibt es deutlich schnellere und schönere Beweise, z.B. in [7], Kap. VII.1.

Wir rufen uns Definition 2.4 von Seite 9 in Erinnerung:

$$\sigma(z; L) := z \cdot \prod_{\substack{\omega \in L \\ \omega \neq 0}} \left\{ \left(1 - \frac{z}{\omega} \right) \cdot \exp \left(\frac{z}{\omega} + \frac{1}{2} \left(\frac{z}{\omega} \right)^2 \right) \right\}$$

Zunächst erkennen wir, dass mit ω auch $-\omega$ alle Punkte des Gitters L durchläuft, und dass folglich $\sigma(-z; L) = -\sigma(z; L)$ gilt (d.h. σ ist eine ungerade Funktion).

5.2. Satz. Es gilt das folgende Transformationsverhalten der σ -Funktion bei Translation um eine der beiden Basisperioden $\omega_1 = 1$ oder $\omega_2 = \tau$ des Gitters L_τ :

$$\sigma(z + \omega_k) = -\exp \left(\eta_k \cdot \left(z + \frac{\omega_k}{2} \right) \right) \cdot \sigma(z)$$

Beweis. Zunächst folgt aus den Definitionen 2.6 und 3.2 für ζ und die η_k :

$$\begin{aligned} \frac{d}{dz} \log \left(\frac{\sigma(z + \omega_k)}{\sigma(z)} \right) &= \frac{d}{dz} \log (\sigma(z + \omega_k)) - \frac{d}{dz} \log (\sigma(z)) \\ &= \frac{\sigma'(z + \omega_k; L)}{\sigma(z + \omega_k; L)} - \frac{\sigma'(z; L)}{\sigma(z; L)} = \zeta(z + \omega_k; L) - \zeta(z; L) = \eta_k \\ \implies \log \left(\frac{\sigma(z + \omega_k)}{\sigma(z)} \right) &= \eta_k \cdot z + c(\omega_k) \\ \implies \frac{\sigma(z + \omega_k)}{\sigma(z)} &= \exp(\eta_k \cdot z + c(\omega_k)) = \exp(\eta_k \cdot z) \cdot \exp(c(\omega_k)) \end{aligned}$$

Den Wert $\exp(c(\omega_k))$ bestimmen wir, indem wir $z = -\frac{\omega_k}{2}$ einsetzen. Dabei verwenden wir, dass dieser Wert nicht im Gitter L_τ liegt und dass σ ungerade ist:

$$\begin{aligned} \exp \left(-\eta_k \cdot \frac{\omega_k}{2} + c(\omega_k) \right) &= \frac{\sigma \left(-\frac{\omega_k}{2} + \omega_k \right)}{\sigma \left(-\frac{\omega_k}{2} \right)} = \frac{\sigma \left(\frac{\omega_k}{2} \right)}{\sigma \left(-\frac{\omega_k}{2} \right)} = -1 \quad \left| \cdot \exp \left(\eta_k \cdot \frac{\omega_k}{2} \right) \right. \\ \implies \exp(c(\omega_k)) &= -\exp \left(\eta_k \cdot \frac{\omega_k}{2} \right) \\ \implies \frac{\sigma(z + \omega_k)}{\sigma(z)} &= -\exp(\eta_k \cdot z) \cdot \exp \left(\eta_k \cdot \frac{\omega_k}{2} \right) = -\exp \left(\eta_k \cdot \left(z + \frac{\omega_k}{2} \right) \right) \end{aligned}$$

□

5.3. Satz. Wir definieren die Funktion

$$\varphi(z; L_\tau) := \exp \left(-\frac{\eta_1}{2} \cdot z^2 + i\pi z \right) \cdot \sigma(z; L_\tau)$$

mit Hilfe der ersten Basisquasiperiode $\eta_1 = \eta_1(L_\tau)$. Für diese gilt dann:

$$\varphi(z + 1; L_\tau) = \varphi(z; L_\tau) \quad \text{und} \quad \varphi(z + \tau; L_\tau) = -\exp(2\pi iz) \cdot \varphi(z; L_\tau)$$

Beweis. Wir verwenden das Transformationsverhalten der σ -Funktion aus Satz 5.2:

$$\begin{aligned} \varphi(z + 1; L_\tau) &= \exp \left(-\frac{1}{2}\eta_1 \cdot (z + 1)^2 + i\pi(z + 1) \right) \cdot \sigma(z + 1; L_\tau) \\ &= -\exp \left(-\frac{\eta_1}{2} \cdot (z^2 + 2z + 1) + i\pi(z + 1) + \eta_1 \cdot \left(z + \frac{\omega_1}{2} \right) \right) \cdot \sigma(z; L_\tau) \\ &= -\exp \left(-\frac{\eta_1}{2} \cdot (2z + 1) + i\pi + \eta_1 \cdot \left(z + \frac{1}{2} \right) \right) \cdot \varphi(z; L_\tau) \\ &= -\exp(i\pi) \cdot \varphi(z; L_\tau) = \varphi(z; L_\tau) \end{aligned}$$

Und für die andere Basisperiode von L_τ :

$$\begin{aligned}\varphi(z + \tau; L_\tau) &= \exp\left(-\frac{\eta_1}{2} \cdot (z + \tau)^2 + i\pi(z + \tau)\right) \cdot \sigma(z + \tau; L_\tau) \\ &= -\exp\left(-\frac{\eta_1}{2} \cdot (z^2 + 2z\tau + \tau^2) + i\pi(z + \tau) + \eta_2 \cdot \left(z + \frac{\omega_2}{2}\right)\right) \cdot \sigma(z; L_\tau) \\ &= -\exp\left(-\frac{\eta_1}{2} \cdot (2z\tau + \tau^2) + i\pi\tau + \eta_2 \cdot \left(z + \frac{\tau}{2}\right)\right) \cdot \varphi(z; L_\tau) \\ &= -\exp\left(-\eta_1 \cdot \tau \left(z + \frac{\tau}{2}\right) + i\pi\tau + \eta_2 \cdot \left(z + \frac{\tau}{2}\right)\right) \cdot \varphi(z; L_\tau)\end{aligned}$$

Jetzt verwenden wir noch die Legendre-Relation des Gitters L_τ aus Satz 3.4 in der Form $\eta_1 \cdot \tau = 2\pi i + \eta_2$ (setze $\omega_1 = 1$ und $\omega_2 = \tau$ ein) und erhalten:

$$\begin{aligned}\varphi(z + \tau; L_\tau) &= -\exp\left(-(2\pi i + \eta_2) \cdot \left(z + \frac{\tau}{2}\right) + i\pi\tau + \eta_2 \cdot \left(z + \frac{\tau}{2}\right)\right) \cdot \varphi(z; L_\tau) \\ &= -\exp\left(-2\pi i \left(z + \frac{\tau}{2}\right) + i\pi\tau\right) \cdot \varphi(z; L_\tau) = -\exp(-2\pi iz) \cdot \varphi(z; L_\tau)\end{aligned}$$

□

5.4. Satz. Die Weierstraß'sche σ -Funktion zum Gitter L_τ hat die folgende Fourierentwicklung mit $q_z = e^{2\pi iz}$ und $q_\tau = e^{2\pi i\tau}$ und $\eta_1 = \eta_1(L_\tau)$:

$$\sigma(z; \tau) = \frac{1}{2\pi i} e^{\eta_1 \cdot z^2 / 2} \cdot (q_z^{1/2} - q_z^{-1/2}) \cdot \prod_{n=1}^{\infty} \frac{(1 - q_\tau^n q_z)(1 - q_\tau^n / q_z)}{(1 - q_\tau^n)^2}$$

Beweis. Wir beweisen zunächst, dass für die in Satz 5.3 definierte φ -Funktion gilt:

$$(8) \quad \varphi(z; L_\tau) = \frac{q_z - 1}{2\pi i} \cdot \prod_{n=1}^{\infty} \frac{(1 - q_\tau^n q_z)(1 - q_\tau^n / q_z)}{(1 - q_\tau^n)^2}$$

Wir nennen die rechte Seite $g(z; L_\tau)$ und beweisen dann, dass $g(z; L_\tau) = \varphi(z; L_\tau)$ ist: Es gilt $q_{z+1} = e^{2\pi i(z+1)} = e^{2\pi iz} = q_z$ und somit $g(z+1; L_\tau) = g(z; L_\tau)$, genau wie bei $\varphi(z; L_\tau)$ (vgl. Satz 5.3). Außerdem ist $q_{z+\tau} = q_z \cdot q_\tau$ und somit

$$\begin{aligned}g(z + \tau; L_\tau) &= \frac{q_z q_\tau - 1}{2\pi i} \cdot \prod_{n=1}^{\infty} \frac{(1 - q_\tau^{n+1} q_z)(1 - q_\tau^{n-1} / q_z)}{(1 - q_\tau^n)^2} \\ &= \frac{q_z q_\tau - 1}{2\pi i} \cdot \frac{\{\prod_{n=2}^{\infty} (1 - q_\tau^n q_z)\} \cdot \{\prod_{n=0}^{\infty} (1 - q_\tau^n / q_z)\}}{\prod_{n=1}^{\infty} (1 - q_\tau^n)^2} \\ &= \frac{q_z q_\tau - 1}{2\pi i} \cdot \frac{1 - q_\tau^0 / q_z}{1 - q_\tau^1 q_z} \cdot \prod_{n=1}^{\infty} \frac{(1 - q_\tau^{n+1} q_z)(1 - q_\tau^{n-1} / q_z)}{(1 - q_\tau^n)^2} \\ &= \frac{q_z q_\tau - 1}{2\pi i} \cdot \frac{1 - 1/q_z}{1 - q_\tau q_z} \cdot \frac{q_z - 1}{q_z - 1} \cdot \prod_{n=1}^{\infty} \frac{(1 - q_\tau^{n+1} q_z)(1 - q_\tau^{n-1} / q_z)}{(1 - q_\tau^n)^2} \\ &= \frac{q_z q_\tau - 1}{q_z - 1} \cdot \frac{1 - 1/q_z}{1 - q_\tau q_z} \cdot g(z; L_\tau) = \frac{q_z q_\tau - 1}{1 - q_\tau q_z} \cdot \frac{q_z^{-1}(q_z - 1)}{q_z - 1} \cdot g(z; L_\tau) \\ &= -q_z^{-1} \cdot g(z; L_\tau) = -\exp(-2\pi iz) \cdot g(z; L_\tau)\end{aligned}$$

Somit haben wir bewiesen, dass sich g und φ bei $z \rightarrow z + 1$ und bei $z \rightarrow z + \tau$ genau gleich verhalten, dass also $\frac{\varphi}{g}$ das Gitter L_τ als Periodengitter hat.

Nun kommen wir zu den Nullstellen von $g(z; L_\tau)$. Aus dem Satz vom Nullprodukt folgt, dass $g(z; L_\tau) = 0$ genau dann gilt, wenn $q_z = q_\tau^m$ für ein $m \in \mathbb{Z}$. Dies liefert die Gleichung $e^{2\pi iz} = e^{2\pi im\tau}$. Aufgrund der komplexen Periode $2\pi i$ der e -Funktion erhalten wir für alle $(l, m) \in \mathbb{Z}^2$ eine Lösung: $2\pi i \cdot z = 2\pi i \cdot l + 2\pi i \cdot m\tau$ bzw. $z = l + m\tau$. Folglich hat $g(z; L_\tau)$ in allen Punkten des Gitters L_τ eine einfache Nullstelle, genau wie $\sigma(z; L_\tau)$ (siehe Bemerkung 2.5) und somit genau wie $\varphi(z; L_\tau)$ (siehe Satz 5.3).

Weil zudem φ aufgrund der Definition in Satz 5.3 keine Polstellen hat, ist $\frac{\varphi}{g}$ eine elliptische Funktion ohne Polstellen und folglich wegen des ersten Liouville'schen Satzes 2.3 konstant.

Den Wert der Konstante bestimmen wir für $z \rightarrow 0$. Dort gilt dann $q_z = 1 + 2\pi iz + O(z^2)$ und somit $g(z; L_\tau) \approx \frac{1+2\pi iz-1}{2\pi i} \cdot \prod_{n=1}^{\infty} \frac{(1-q_\tau^n)(1-q_\tau^n)}{(1-q_\tau^n)^2} = \frac{2\pi iz}{2\pi i} \cdot 1 = z$. Die gleiche Näherung $\sigma(z; L_\tau) \approx z$ in der Nähe von $z = 0$ erkennt man an der Definition 2.4 von $\sigma(z; L_\tau)$. Somit gilt auch $\varphi(z; L_\tau) \approx z$ in der Nähe von $z = 0$ und wir erhalten mit der Regel von de l'Hospital:

$$\frac{\varphi(z; L_\tau)}{g(z; L_\tau)} = \lim_{z \rightarrow 0} \frac{\varphi(z; L_\tau)}{g(z; L_\tau)} = \lim_{z \rightarrow 0} \frac{z}{z} = 1$$

und wir haben mit $\varphi(z; L_\tau) = g(z; L_\tau)$ die Gleichung (8) bewiesen.

Wir müssen nur noch die Definition von φ nach σ auflösen und erhalten:

$$\begin{aligned} \sigma(z; L_\tau) &= \exp\left(\frac{\eta_1}{2} \cdot z^2 - i\pi z\right) \cdot \varphi(z; L_\tau) \\ &= \exp\left(\frac{\eta_1}{2} \cdot z^2\right) \cdot q_z^{-\frac{1}{2}} \cdot \frac{q_z - 1}{2\pi i} \cdot \prod_{n=1}^{\infty} \frac{(1 - q_\tau^n q_z)(1 - q_\tau^n/q_z)}{(1 - q_\tau^n)^2} \\ &= \frac{1}{2\pi i} e^{\eta_1 \cdot z^2/2} \cdot (q_z^{1/2} - q_z^{-1/2}) \cdot \prod_{n=1}^{\infty} \frac{(1 - q_\tau^n q_z)(1 - q_\tau^n/q_z)}{(1 - q_\tau^n)^2} \quad \square \end{aligned}$$

Jetzt haben wir ein ausreichendes Hilfsmittel für den Beweis von Theorem 5.1:

Beweis des Theorems 5.1. Zunächst berechnen wir die logarithmische Ableitung der Fourierentwicklung aus Satz 5.4. Dann geht das Produkt in eine Summe über und wir erhalten:

$$\begin{aligned} \frac{\sigma'(z; L_\tau)}{\sigma(z; L_\tau)} &= \eta_1 \cdot z + \pi i \cdot \frac{e^{\pi iz} + e^{-\pi iz}}{e^{\pi iz} - e^{-\pi iz}} + 2\pi i \cdot \sum_{n=1}^{\infty} \left(\frac{q_\tau^n/q_z}{1 - q_\tau^n/q_z} - \frac{q_\tau^n \cdot q_z}{1 - q_\tau^n \cdot q_z} \right) \\ (9) \quad &= \eta_1 \cdot z + \pi \cdot \frac{\cos(\pi z)}{\sin(\pi z)} + 2\pi i \cdot \sum_{n=1}^{\infty} \left(\frac{q^n/w}{1 - q^n/w} - \frac{q^n \cdot w}{1 - q^n \cdot w} \right) \end{aligned}$$

wobei wir im letzten Schritt $q = q_\tau = e^{2\pi i \tau}$ und $w = q_z = e^{2\pi iz}$ abgekürzt haben. Als Nächstes vereinfachen wir die verbleibende Summe, wobei wir mehrfach die Formel für die geometrische Reihe verwenden:

$$\begin{aligned} &2\pi i \sum_{n=1}^{\infty} \left(\frac{q^n/w}{1 - q^n/w} - \frac{q^n \cdot w}{1 - q^n \cdot w} \right) \\ &= 2\pi i \sum_{n=1}^{\infty} \sum_{m=1}^{\infty} ((q^n/w)^m - (q^n \cdot w)^m) = 2\pi i \sum_{n=1}^{\infty} \sum_{m=1}^{\infty} (q^m)^n \cdot (w^{-m} - w^m) \\ &= 2\pi i \sum_{m=1}^{\infty} \sum_{n=1}^{\infty} (q^m)^n \cdot (w^{-m} - w^m) = 2\pi i \sum_{m=1}^{\infty} \frac{q^m}{1 - q^m} \cdot (w^{-m} - w^m) \\ &= 2\pi i \sum_{m=1}^{\infty} \frac{q_\tau^m}{1 - q_\tau^m} \cdot (e^{-2\pi imz} - e^{2\pi imz}) = 4\pi \sum_{m=1}^{\infty} \frac{q_\tau^m}{1 - q_\tau^m} \cdot \sin(2\pi mz) \end{aligned}$$

Wenn wir das jetzt einsetzen, erhalten wir eine Darstellung der \wp -Funktion:

$$\begin{aligned} \frac{\sigma'(z; L_\tau)}{\sigma(z; L_\tau)} &= \eta_1 \cdot z + \pi \cdot \frac{\cos(\pi z)}{\sin(\pi z)} + 4\pi \cdot \sum_{m=1}^{\infty} \frac{q_\tau^m}{1 - q_\tau^m} \cdot \sin(2\pi mz) \quad \left| - \frac{d}{dz} \right. \\ \implies \wp(z; L_\tau) &= -\eta_1 + \left(\frac{\pi}{\sin(\pi z)} \right)^2 - 8\pi^2 \cdot \sum_{m=1}^{\infty} \frac{m \cdot q_\tau^m}{1 - q_\tau^m} \cdot \cos(2\pi mz) \end{aligned}$$

Hier setzen wir jetzt noch die bekannten Taylorreihen um $z = 0$ herum ein, nämlich

$$\begin{aligned}
 \cos(x) &= 1 - \frac{x^2}{2!} + \frac{x^4}{4!} + O(x^6) \\
 \implies \cos(2\pi mz) &= 1 - 2\pi^2 m^2 z^2 + \frac{2}{3}\pi^4 m^4 z^4 + O(z^6) \\
 \text{und } \sin(x) &= x - \frac{x^3}{3!} + \frac{x^5}{5!} - \frac{x^7}{7!} + O(x^9) \\
 \implies \frac{\sin(\pi z)}{\pi z} &= 1 - \frac{\pi^2}{6} z^2 + \frac{\pi^4}{120} z^4 - \frac{\pi^6}{5040} z^6 + O(z^8) \\
 \implies \left(\frac{\sin(\pi z)}{\pi z}\right)^2 &= 1 - \frac{2\pi^2}{6} z^2 + \left(\frac{2\pi^4}{120} + \frac{\pi^4}{36}\right) z^4 - \left(\frac{2\pi^6}{5040} + \frac{2\pi^6}{6 \cdot 120}\right) z^6 + O(z^8) \\
 &= 1 - \frac{\pi^2}{3} z^2 + \frac{2\pi^4}{45} z^4 - \frac{\pi^6}{315} z^6 + O(z^8) \\
 \implies \left(\frac{\pi z}{\sin(\pi z)}\right)^2 &= \left(1 - \left(\frac{\pi^2}{3} z^2 - \frac{2\pi^4}{45} z^4 + \frac{\pi^6}{315} z^6 + O(z^8)\right)\right)^{-1} \quad \Big| \text{ geom. Reihe} \\
 &= 1 + \left(\frac{\pi^2}{3} z^2 - \frac{2\pi^4}{45} z^4 + \frac{\pi^6}{315} z^6\right) \\
 &\quad + \left(\frac{\pi^2}{3} z^2 - \frac{2\pi^4}{45} z^4\right)^2 + \left(\frac{\pi^2}{3} z^2\right)^3 + O(z^8) \\
 &= 1 + \frac{\pi^2}{3} z^2 + \frac{\pi^4}{15} z^4 + \frac{2\pi^6}{189} z^6 + O(z^8) \quad \Big| : z^2 \\
 \implies \left(\frac{\pi}{\sin(\pi z)}\right)^2 &= \frac{1}{z^2} + \frac{\pi^2}{3} + \frac{\pi^4}{15} z^2 + \frac{2\pi^6}{189} z^4 + O(z^6)
 \end{aligned}$$

Hiermit erhalten wir den Anfang der Laurentreihe von $\wp(z; L_\tau)$ um $z = 0$:

$$\begin{aligned}
 \wp(z; L_\tau) &= -\eta_1 + \left(\frac{\pi}{\sin(\pi z)}\right)^2 - 8\pi^2 \cdot \sum_{m=1}^{\infty} \frac{m \cdot q_\tau^m}{1 - q_\tau^m} \cdot \cos(2\pi mz) \\
 &= -\eta_1 + \frac{1}{z^2} + \frac{\pi^2}{3} + \frac{\pi^4}{15} z^2 + \frac{2\pi^6}{189} z^4 \\
 &\quad - 8\pi^2 \cdot \sum_{m=1}^{\infty} \frac{m \cdot q_\tau^m}{1 - q_\tau^m} \cdot \left(1 - 2\pi^2 m^2 z^2 + \frac{2}{3}\pi^4 m^4 z^4\right) + O(z^6)
 \end{aligned}$$

Zur Erinnerung und zum Vergleich hier nochmal die Laurentreihe aus Satz 2.14:

$$\wp(z; L) = \frac{1}{z^2} + 3G_4(L)z^2 + 5G_6(L)z^4 + \sum_{n=3}^{\infty} (2n+1)G_{2n+2}(L) \cdot z^{2n}$$

Ein Vergleich der Koeffizienten vor z^0, z^2 und z^4 in diesen beiden Darstellungen liefert

$$\begin{aligned}
 0 &= -\eta_1(L_\tau) + \frac{\pi^2}{3} - 8\pi^2 \cdot \sum_{m=1}^{\infty} \frac{m \cdot q_\tau^m}{1 - q_\tau^m} \\
 3G_4(L_\tau) &= \frac{\pi^4}{15} + 16\pi^4 \cdot \sum_{m=1}^{\infty} \frac{m^3 \cdot q_\tau^m}{1 - q_\tau^m} \\
 5G_6(L_\tau) &= \frac{2\pi^6}{189} - \frac{16}{3}\pi^6 \cdot \sum_{m=1}^{\infty} \frac{m^5 \cdot q_\tau^m}{1 - q_\tau^m}
 \end{aligned}$$

und wir erhalten:

$$\begin{aligned}\eta_1(L_\tau) &= \frac{\pi^2}{3} \left(1 - 24 \sum_{m=1}^{\infty} \frac{m \cdot q_\tau^m}{1 - q_\tau^m} \right) \\ g_2(L_\tau) = 60G_4(L_\tau) &= \frac{4}{3}\pi^4 \left(1 + 240 \sum_{m=1}^{\infty} \frac{m^3 \cdot q_\tau^m}{1 - q_\tau^m} \right) \\ g_3(L_\tau) = 140G_6(L_\tau) &= \frac{8}{27}\pi^6 \left(1 - 504 \sum_{m=1}^{\infty} \frac{m^5 \cdot q_\tau^m}{1 - q_\tau^m} \right)\end{aligned}$$

Somit können wir (wie in Theorem 5.1 angekündigt) die Klammern mit $E_2(\tau)$, $E_4(\tau)$ und $E_6(\tau)$ benennen und erhalten die im Theorem genannten Darstellungen für $\eta_1(\tau)$, $g_2(\tau)$ und $g_3(\tau)$.

Schließlich setzen wir wie angekündigt die neuen Darstellungen von g_2 und g_3 in die alte Definition 4.4 von Δ und J ein:

$$\begin{aligned}\Delta(\tau) &= g_2^3(L_\tau) - 27g_3^2(L_\tau) = \left(\frac{4}{3}\pi^4 \cdot E_4(\tau) \right)^3 - 27 \cdot \left(\frac{8}{27}\pi^6 \cdot E_6(\tau) \right)^2 \\ &= \frac{(2\pi)^{12}}{1728} \cdot (E_4(\tau)^3 - E_6(\tau)^2) \\ J(\tau) &= \frac{g_2^3(\tau)}{\Delta(\tau)} = \frac{\left(\frac{4}{3}\pi^4 \cdot E_4(\tau) \right)^3}{\frac{(2\pi)^{12}}{1728} \cdot (E_4(\tau)^3 - E_6(\tau)^2)} = \frac{E_4(\tau)^3}{E_4(\tau)^3 - E_6(\tau)^2}\end{aligned}$$

Somit haben wir alle Aussagen aus Theorem 5.1 bewiesen. \square

6. EINIGE ABSCHÄTZUNGEN DER J - UND DER s_2 -FUNKTION

In diesem Kapitel beweisen wir die Abschätzungen, die in den folgenden Theoremen formuliert sind, und berechnen Näherungswerte für $1728J(\tau_N)$ und $s_2(\tau_N)$.

6.1. Theorem. Für die J -Funktion aus Theorem 5.1:

$$J(\tau) := \frac{E_4(\tau)^3}{E_4(\tau)^3 - E_6(\tau)^2}$$

gelten im Bereich $\text{Im}(\tau) > 1,25$ folgende Abschätzungen:

$$|J(\tau)| > 1,096 > 1 \quad \text{sowie} \quad \frac{0,737}{|q|} < |1728J(\tau)| < \frac{1,321}{|q|}$$

Zur genaueren Berechnung kann man die folgende Näherung verwenden:

$$\tilde{J}(\tau) := \frac{(1 + 240(q + 9q^2))^3}{1728q \cdot (1 - q - q^2)^{24}} \quad \text{mit } q = e^{2\pi i \tau}$$

Diese weicht für $\text{Im}(\tau) > 1,25$ um weniger als 0,2 vom exakten Wert ab:

$$|1728J(\tau) - 1728\tilde{J}(\tau)| < 500|q| < 0,2$$

6.2. Bemerkung. Die Darstellung des Nenners von \tilde{J} folgt aus der Dedekind'schen η -Funktion und dem Euler'schen Pentagonalzahlensatz. Beide beweisen wir hier nicht, weil die vorliegende Abschätzung auch ohne den vollen Beweis nachgerechnet werden kann. Wollte man eine genauere Näherung für die J -Funktion erhalten, könnte man im Zähler weitere Terme aus Satz 6.4 verwenden und im Nenner weitere Terme des Pentagonalzahlensatzes, also mehr von $(1 - q - q^2 + q^5 + q^7 - q^{12} - q^{15} + q^{22} + q^{26} \pm \dots)^{24}$ ergänzen.

6.3. Theorem. Die Funktion s_2 , die auf der oberen Halbebene wie folgt definiert ist:

$$s_2(\tau) := \frac{E_4(\tau)}{E_6(\tau)} \cdot \left(E_2(\tau) - \frac{3}{\pi \text{Im}(\tau)} \right)$$

kann mit $q = e^{2\pi i \tau}$ durch die folgende Näherung ersetzt werden:

$$\tilde{s}_2(\tau) := \frac{1 + 240q}{1 - 504q} \cdot \left(1 - 24q - \frac{3}{\pi \text{Im}(\tau)} \right)$$

Für diese Näherung gilt im Bereich $\text{Im}(\tau) > 1,25$ folgende Abschätzung:

$$|s_2(\tau) - \tilde{s}_2(\tau)| < 31405|q|^2$$

Für den Beweis der beiden Theoreme beweisen wir zunächst:

6.4. Satz. Mit Hilfe der Summe über die Teiler der Zahl n , genauer mit

$$\sigma_k(n) := \sum_{d|n} d^k$$

erhalten wir äquivalente Darstellungen der Eisensteinreihen:

$$E_2(\tau) = 1 - 24 \sum_{n=1}^{\infty} \sigma_1(n) \cdot q^n = 1 - 24 \left(q + 3q^2 + \sum_{n=3}^{\infty} \sigma_1(n) \cdot q^n \right)$$

$$E_4(\tau) = 1 + 240 \sum_{n=1}^{\infty} \sigma_3(n) \cdot q^n = 1 + 240 \left(q + 9q^2 + \sum_{n=3}^{\infty} \sigma_3(n) \cdot q^n \right)$$

$$E_6(\tau) = 1 - 504 \sum_{n=1}^{\infty} \sigma_5(n) \cdot q^n = 1 - 504 \left(q + 33q^2 + \sum_{n=3}^{\infty} \sigma_5(n) \cdot q^n \right)$$

Beweis. In Theorem 5.1 wurden die normierten Eisensteinreihen E_k definiert. Jetzt formen wir mit der Formel für die geometrische Reihe um:

$$\sum_{n=1}^{\infty} n^k \cdot \frac{q^n}{1-q^n} = \sum_{n=1}^{\infty} n^k \cdot \sum_{m=1}^{\infty} (q^n)^m = \sum_{m,n=1}^{\infty} n^k \cdot q^{m+n}$$

Dann fassen wir alle Summanden, die zum selben Exponenten $m+n = p$ führen zusammen und erhalten

$$\sum_{m,n=1}^{\infty} n^k \cdot q^{m+n} = \sum_{p=1}^{\infty} \left(\sum_{n|p} n^k \right) \cdot q^p = \sum_{p=1}^{\infty} \sigma_k(p) \cdot q^p$$

Somit erhalten wir die neuen Darstellungen der Eisensteinreihen. Die angegebenen Anfänge der q -Entwicklungen folgen aus $\sigma_k(1) = 1^k$ und $\sigma_k(2) = 1^k + 2^k$. \square

6.5. Bemerkung. Für Tabelle 1 wurden jeweils die ersten acht Werte von $\sigma_{1;3;5}$ berechnet. Wir werden allerdings nur jeweils die ersten drei verwenden.

n	1	2	3	4	5	6	7	8
$\{d n\}$	{1}	{1; 2}	{1; 3}	{1; 2; 4}	{1; 5}	{1; 2; 3; 6}	{1; 7}	{1; 2; 4; 8}
$\sigma_1(n)$	1	3	4	7	6	12	8	15
$\sigma_3(n)$	1	9	28	73	126	252	344	585
$\sigma_5(n)$	1	33	244	1057	3126	8052	16808	33825

TABELLE 1. Einige Werte der σ_k -Funktionen

6.6. Lemma. Für alle natürlichen k und n gilt die Abschätzung

$$\sigma_k(n) \leq n^{k+1}.$$

Beweis. Wir erweitern die Summe über die Teiler der Zahl n auf die Summe über alle Zahlen bis n :

$$\sigma_k(n) = \sum_{d|n} d^k \leq \sum_{d=1}^n d^k \leq \sum_{d=1}^n n^k = n \cdot n^k = n^{k+1}$$

\square

6.7. Lemma. Für das Restglied $R_k^{(l)}$ in den Eisensteinreihen E_k von Satz 6.4

$$R_k^{(l)} := \sum_{n=l}^{\infty} \sigma_{k-1}(n) \cdot q^n$$

gilt die folgende Abschätzung, falls $(1 + \frac{1}{l})^k \cdot |q| < 1$ ist:

$$\left| R_k^{(l)} \right| \leq \frac{l^k \cdot |q|^l}{1 - (1 + \frac{1}{l})^k \cdot |q|}$$

Beweis. Zunächst folgt aus Lemma 6.6:

$$\left| R_k^{(l)} \right| \leq \sum_{n=l}^{\infty} \sigma_{k-1}(n) \cdot |q|^n \leq \sum_{n=l}^{\infty} \underbrace{n^k \cdot |q|^n}_{=: r_n}$$

In der Summe wenden wir das Quotientenkriterium an:

$$\frac{r_{n+1}}{r_n} = \frac{(n+1)^k \cdot |q|^{n+1}}{n^k \cdot |q|^n} = \left(1 + \frac{1}{n} \right)^k \cdot |q| \leq \left(1 + \frac{1}{l} \right)^k \cdot |q| =: s$$

also kann man mit $r_n \leq r_l \cdot s^{n-l}$ die geometrische Reihe als Majorante verwenden:

$$\left| R_k^{(l)} \right| \leq r_l \cdot \sum_{n=l}^{\infty} s^{n-l} = r_l \cdot \frac{1}{1-s} = \frac{l^k \cdot |q|^l}{1 - \left(1 + \frac{1}{l}\right)^k \cdot |q|} \quad \square$$

6.8. Bemerkung. Ab hier verwenden wir immer wieder $|q| < e^{-2,5\pi}$, deshalb gelten alle folgenden Abschätzungen des Kapitels 6 nur noch im Bereich $\text{Im}(\tau) > 1,25$.

6.9. Bemerkung. Archimedes bewies, dass $\pi > 3 + \frac{10}{71} > 3,1408$ ist (siehe [8, S. 91–98]). Wir werden nur diesen Wert für den Beweis der Abschätzungen verwenden, d.h. wir werden nicht $|q| < \exp(-2,5\pi)$, sondern nur $|q| < \exp(-7,852)$ verwenden.

6.10. Bemerkung. Ab hier werden die Rechnungen rein technisch, man verpasst nichts wenn man sie überblättert und zu Bemerkung 6.16 springt.

6.11. Lemma. Im Bereich $\text{Im}(\tau) > 1,25$ gilt für die Restglieder aus Lemma 6.7:

$$\begin{aligned} \left| R_2^{(2)} \right| &\leq 3,004|q|^2 \\ \left| R_4^{(2)} \right| &\leq 9,011|q|^2 \quad \text{und} \quad \left| R_4^{(3)} \right| \leq 28,1|q|^3 \\ \left| R_6^{(2)} \right| &\leq 33,096|q|^2 \quad \left| R_6^{(3)} \right| \leq 245,6|q|^3 \end{aligned}$$

Beweis. Zunächst nutzen wir Lemma 6.7 in der nächsthöheren Ordnung und setzen $|q| < e^{-7,852}$ ein:

$$\begin{aligned} \left| R_2^{(3)} \right| &\leq \frac{3^2 \cdot |q|^3}{1 - \left(1 + \frac{1}{3}\right)^2 \cdot |q|} \leq 9,01|q|^3 \\ \left| R_4^{(4)} \right| &\leq \frac{4^4 \cdot |q|^4}{1 - \left(1 + \frac{1}{4}\right)^4 \cdot |q|} \leq 256,25|q|^4 \\ \left| R_6^{(4)} \right| &\leq \frac{4^6 \cdot |q|^4}{1 - \left(1 + \frac{1}{4}\right)^6 \cdot |q|} \leq 4102,1|q|^4 \end{aligned}$$

Dann verwenden wir die Werte der σ_k aus Tabelle 1 und erhalten die zu beweisenden besseren Abschätzungen:

$$\begin{aligned} \left| R_2^{(2)} \right| &= \left| \sigma_1(2) \cdot q^2 + R_2^{(3)} \right| \leq 3|q|^2 + 9,01|q|^3 \leq 3,004|q|^2 \\ \left| R_4^{(3)} \right| &= \left| \sigma_3(3) \cdot q^3 + R_4^{(4)} \right| \leq 28|q|^3 + 256,25|q|^4 \leq 28,1|q|^3 \\ \left| R_4^{(2)} \right| &= \left| \sigma_3(2) \cdot q^2 + R_4^{(3)} \right| \leq 9|q|^2 + 28,1|q|^3 \leq 9,011|q|^2 \\ \left| R_6^{(3)} \right| &= \left| \sigma_5(3) \cdot q^3 + R_6^{(4)} \right| \leq 244|q|^3 + 4102,1|q|^4 \leq 245,6|q|^3 \\ \left| R_6^{(2)} \right| &= \left| \sigma_5(2) \cdot q^2 + R_6^{(3)} \right| \leq 33|q|^2 + 245,6|q|^3 \leq 33,096|q|^2 \quad \square \end{aligned}$$

6.12. Lemma. Im Bereich $\text{Im}(\tau) > 1,25$ gilt $|E_6(\tau)| > 0,8$ und insbesondere $E_6(\tau) \neq 0$.

Beweis. Es gilt $|E_6(\tau)| = \left| 1 - 504 \left(q + R_6^{(2)} \right) \right| \geq 1 - 504 (|q| + 33,096|q|^2) > 0,8$. \square

Beweis des Theorems 6.3. Zunächst benennen wir $e_2 := E_2 - \frac{3}{\pi \text{Im}(\tau)}$ und die lineare Näherung $e_2^{(1)} := 1 - 24q - \frac{3}{\pi \text{Im}(\tau)}$. Weiter benennen wir die Fehler der Näherungen mit Δ . Dann folgt mit den linearen Näherungen $E_4^{(1)} = 1 + 240q$ und $E_6^{(1)} = 1 - 504q$ aus der Definition von s_2 :

$$\tilde{s}_2 + \Delta(\tilde{s}_2) = \frac{E_4^{(1)} + \Delta(E_4^{(1)})}{E_6^{(1)} + \Delta(E_6^{(1)})} \cdot \left(e_2^{(1)} + \Delta(e_2^{(1)}) \right)$$

Wenn wir das mit $E_6^{(1)} + \Delta(E_6^{(1)})$ multiplizieren und die Definition von \tilde{s}_2 verwenden erhalten wir nach erneuter Division durch $E_6^{(1)} + \Delta(E_6^{(1)})$:

$$\Delta(\tilde{s}_2) = \frac{\Delta(E_4^{(1)}) \cdot e_2^{(1)} + \Delta(e_2^{(1)}) \cdot E_4^{(1)} + \Delta(E_4^{(1)}) \cdot \Delta(e_2^{(1)}) - \tilde{s}_2 \cdot \Delta(E_6^{(1)})}{E_6^{(1)} + \Delta(E_6^{(1)})}$$

Aus Lemma 6.11 folgt:

$$\begin{aligned} |\Delta(e_2^{(1)})| &= |\Delta(E_2^{(1)})| = 24 |R_2^{(2)}| \leq 72,1 |q|^2 \\ \text{und } |e_2^{(1)}| &\leq \left| 1 - \frac{3}{\pi \operatorname{Im}(\tau)} \right| + 24|q| \leq 1 + 24|q| \leq 1,0094 \\ |\Delta(E_4^{(1)})| &= 240 |R_4^{(2)}| \leq 2163 |q|^2 \\ \text{und } |E_4^{(1)}| &\leq 1 + 240|q| \leq 1,0934 \\ |\Delta(E_6^{(1)})| &= 504 |R_6^{(2)}| \leq 16681 |q|^2 \\ \text{und } |E_6^{(1)}| &\geq 1 - 504|q| \geq 0,8039 \\ \text{sowie } |\tilde{s}_2| &= \left| \frac{E_4^{(1)}}{E_6^{(1)}} \cdot e_2^{(1)} \right| \leq \frac{1,0934}{0,8039} \cdot 1,0094 \leq 1,373 \end{aligned}$$

Wenn wir das einsetzen erhalten wir:

$$|\Delta(s_2)| \leq \frac{2184|q|^2 + 79|q|^2 + 0,024|q|^2 + 22904|q|^2}{0,8039 - 16681|q|^2} < 31405|q|^2$$

Somit ist die Abschätzung aus Theorem 6.3 bewiesen. \square

6.13. Lemma. Für die beiden Funktionen $X := E_4^{(2)} = 1 + 240(q + 9q^2)$ und $Y := E_6^{(2)} = 1 - 504(q + 33q^2)$ gelten im Bereich $\operatorname{Im}(\tau) > 1,25$ die Abschätzungen:

$$\begin{array}{lll} |\Delta(X)| \leq 6744|q|^3 & & 0,9063 \leq |X| \leq 1,0937 \\ |\Delta(Y)| \leq 123783|q|^3 & & 0,8014 \leq |Y| \leq 1,1986 \\ |\Delta(X^3)| \leq 24202|q|^3 & \text{und} & 0,7444 \leq |X^3| \leq 1,3083 \\ |\Delta(Y^2)| \leq 296734|q|^3 & & 0,6422 \leq |Y^2| \leq 1,4367 \end{array}$$

Beweis. Zunächst gilt

$$\begin{aligned} |X - 1| \leq 240(|q| + 9|q|^2) &\leq 0,0937 &\implies 0,9063 \leq |X| \leq 1,0937 \\ |Y - 1| \leq 504(|q| + 33|q|^2) &\leq 0,1986 &\implies 0,8014 \leq |Y| \leq 1,1986 \end{aligned}$$

Hieraus folgt

$$\begin{aligned} 0,7444 &\leq 0,9063^3 \leq |X^3| \leq 1,0937^3 \leq 1,3083 \\ 0,6422 &\leq 0,8014^2 \leq |Y^2| \leq 1,1986^2 \leq 1,4367 \end{aligned}$$

Außerdem gilt mit Lemma 6.11:

$$\begin{aligned} |\Delta(X)| &= 240 |R_4^{(3)}| \leq 6744|q|^3 \\ |\Delta(Y)| &= 504 |R_6^{(3)}| \leq 123783|q|^3 \end{aligned}$$

Hieraus folgen die Fehler von X^3 und Y^2 im Vergleich zu E_4^3 und E_6^2 :

$$\begin{aligned} E_4^3 &= (X + \Delta(X))^3 = X^3 + \Delta(X) \cdot (3X^2 + 3X\Delta(X) + (\Delta(X))^2) = X^3 + \Delta(X^3) \\ &\implies |\Delta(X^3)| \leq |\Delta(X)| \cdot (3|X|^2 + 3|X| \cdot |\Delta(X)| + |\Delta(X)|^2) \leq 24202|q|^3 \\ E_6^2 &= (Y + \Delta(Y))^2 = Y^2 + \Delta(Y) \cdot (2Y + \Delta(Y)) = Y^2 + \Delta(Y^2) \\ &\implies |\Delta(Y^2)| \leq |\Delta(Y)| \cdot (2|Y| + |\Delta(Y)|) \leq 296734|q|^3 \end{aligned} \quad \square$$

6.14. Lemma. Wir definieren die folgende in der oberen Halbebene analytische Funktion k und ihre Näherung \tilde{k} :

$$k(\tau) := \frac{E_4^3 - E_6^2}{1728q} \quad \text{und} \quad \tilde{k}(\tau) := (1 - q - q^2)^{24}$$

Dann gelten im Bereich $\operatorname{Im}(\tau) > 1,25$ folgenden Abschätzungen:

$$|k - \tilde{k}| \leq 365,6|q|^2 \quad \text{und} \quad 0,9907 \leq |\tilde{k}| \leq 1,0094$$

Beweis. Die Abschätzung für $|\tilde{k}|$ folgt direkt aus $|q| < e^{-7,852}$, denn

$$0,9907 \leq (1 - |q| - |q|^2)^{24} \leq \tilde{k} \leq (1 + |q| + |q|^2)^{24} \leq 1,0094$$

Dann fügen wir für die Fehlerabschätzung einen zusätzlichen Term ein, um Lemma 6.13 verwenden zu können:

$$\begin{aligned} |k - \tilde{k}| &= \left| \frac{E_4^3 - E_6^2}{1728q} - (1 - q - q^2)^{24} \right| \\ &\leq \left| \frac{E_4^3 - E_6^2}{1728q} - \frac{X^3 - Y^2}{1728q} \right| + \left| \frac{X^3 - Y^2}{1728q} - (1 - q - q^2)^{24} \right| \\ &\leq \left| \frac{E_4^3 - X^3}{1728q} \right| + \left| \frac{E_6^2 - Y^2}{1728q} \right| + \left| \frac{X^3 - Y^2}{1728q} - (1 - q - q^2)^{24} \right| \\ &\leq \frac{24202|q|^3}{1728|q|} + \frac{296734|q|^3}{1728|q|} + \left| \frac{X^3 - Y^2}{1728q} - (1 - q - q^2)^{24} \right| \\ &\leq 185,8|q|^2 + \left| \frac{X^3 - Y^2}{1728q} - (1 - q - q^2)^{24} \right| \end{aligned}$$

Es fehlt also noch eine Abschätzung für $\tilde{k} = (1 - q - q^2)^{24}$. Wir leiten einige Male nach q ab:

$$\begin{aligned} f(q) &:= (1 - q - q^2)^{24} \implies f(0) = 1 \\ f'(q) &= -24(1 + 2q)(1 - q - q^2)^{23} \implies f'(0) = -24 \\ f''(q) &= 24(21 + 94q + 94q^2)(1 - q - q^2)^{22} \implies f''(0) = 504 \\ f'''(q) &= -1104(1 + 2q)(8 + 47q + 47q^2)(1 - q - q^2)^{21} \implies |f'''(q)| \leq 8932 \end{aligned}$$

Somit folgt, dass es ein ξ gibt mit

$$(1 - q - q^2)^{24} = 1 - 24q + \frac{504}{2}q^2 + \frac{f'''(\xi)}{6} \cdot q^3$$

Außerdem lautet die ausmultiplizierte Form des anderen Ausdrucks

$$\begin{aligned} \frac{X^3 - Y^2}{1728q} &= \frac{(1 + 240(q + 9q^2))^3 - (1 - 504(q + 33q^2))^2}{1728q} \\ &= 1 - 24q + 98q^2 + 64017q^3 + 1994000q^4 + 5832000q^5 \end{aligned}$$

Wenn wir diese beiden Darstellungen subtrahieren, erhalten wir

$$\begin{aligned} & \left| \frac{X^3 - Y^2}{1728q} - (1 - q - q^2)^{24} \right| \\ &= \left| (98 - 252)q^2 + 64017q^3 + 1994000q^4 + 5832000q^5 - \frac{f'''(\xi)}{6} \cdot q^3 \right| \\ &\leq 154|q|^2 + 64017|q|^3 + 1994000|q|^4 + 5832000|q|^5 + \frac{8932}{6} \cdot |q|^3 \leq 179,8|q|^2 \end{aligned}$$

Wenn wir das oben einsetzen, erhalten wir die angekündigte Abschätzung:

$$|k - \tilde{k}| \leq 185,8|q|^2 + 179,8|q|^2 \leq 365,6|q|^2$$

Mit dem Pentagonalzahlsatz aus Bemerkung 6.2 könnte man sogar beweisen, dass die Abweichung $|k - \tilde{k}| < 25|q|^5$ ist, aber das wird wie gesagt nicht benötigt. \square

6.15. Lemma. *Wir definieren die folgende Funktion J_2 und ihre Näherung \tilde{J}_2 :*

$$J_2(\tau) := 1728q \cdot J(\tau) = \frac{E_4^3}{k} \quad \text{und} \quad \tilde{J}_2(\tau) := 1728q \cdot \tilde{J}(\tau) = \frac{X^3}{\tilde{k}}$$

Dann gelten im Bereich $Im(\tau) > 1,25$ folgenden Abschätzungen:

$$|\Delta(\tilde{J}_2)| := |J_2 - \tilde{J}_2| < 500|q|^2 \quad \text{und} \quad 0,7374 \leq |\tilde{J}_2| \leq 1,3206$$

Beweis. Die Abschätzung für $|\tilde{J}_2|$ folgt aus denen für $|X^3|$ und $|\tilde{k}|$ aus Lemma 6.13 und 6.14:

$$0,7374 \leq \frac{0,7444}{1,0094} \leq |\tilde{J}_2| \leq \frac{1,3083}{0,9907} \leq 1,3206$$

Aus der Definition von J_2 und \tilde{J}_2 folgt dann:

$$\tilde{J}_2 + \Delta(\tilde{J}_2) = \frac{X^3 + \Delta(X^3)}{\tilde{k} + \Delta(\tilde{k})} \implies \Delta(\tilde{J}_2) = \frac{\Delta(X^3) - \tilde{J}_2 \cdot \Delta(\tilde{k})}{\tilde{k} + \Delta(\tilde{k})}$$

und somit, wieder mit Lemma 6.13 und 6.14:

$$|\Delta(\tilde{J}_2)| \leq \frac{24202|q|^3 + 1,3206 \cdot 365,6|q|^2}{0,9907 - 365,6|q|^2} < 496,9|q|^2 < 500|q|^2 \quad \square$$

Jetzt zum Beweis des Theorems 6.1. Wir verwenden die Abschätzungen für J_2 aus Lemma 6.15 und übertragen sie auf J mit Hilfe von $1728J = \frac{J_2}{q}$:

$$\begin{aligned} |1728J - 1728\tilde{J}| &\leq \frac{|\Delta(\tilde{J}_2)|}{|q|} < \frac{500|q|^2}{|q|} = 500|q| < 0,2 \\ \text{und} \quad |J(\tau)| &\geq \frac{|\tilde{J}_2| - |\Delta(\tilde{J}_2)|}{1728|q|} \geq \frac{0,7374 - 500|q|^2}{1728|q|} > 1,096 > 1 \\ \text{und} \quad |1728J(\tau)| &\leq \frac{|\tilde{J}_2| + |\Delta(\tilde{J}_2)|}{|q|} \leq \frac{1,3206 + 500|q|^2}{|q|} < \frac{1,321}{|q|} \\ \text{und} \quad |1728J(\tau)| &\geq \frac{|\tilde{J}_2| - |\Delta(\tilde{J}_2)|}{|q|} \geq \frac{0,7374 - 500|q|^2}{|q|} > \frac{0,737}{|q|} \end{aligned}$$

Somit sind alle Abschätzungen des Theorems 6.1 bewiesen. \square

6.16. Bemerkung. Um jetzt die Näherungsfunktionen \tilde{J} und \tilde{s}_2 an einigen Stellen mit der nötigen Genauigkeit berechnen zu können, benötigen wir ca. 25 Stellen von π , welche natürlich nicht mit der Chudnovsky-Formel berechnet werden dürfen. Ludolph van Ceulen (1540–1610) berechnete mit Hilfe eines regelmäßigen 2^{62} -Ecks die folgenden 35 Stellen von π , die von seinem Schüler Willebrord Snell [15, S. 55] erst 1621 (nach van Ceulens Tod) vollständig veröffentlicht wurden:

$$\pi = 3,14159\ 26535\ 89793\ 23846\ 26433\ 83279\ 50288\dots$$

Wir beenden das Kapitel, indem wir an einigen Stellen $\tau_N := \frac{N+i\sqrt{N}}{2}$ die Funktionswerte von $1728\tilde{J}(\tau)$ und für $\tilde{s}_2(\tau)$ berechnen. Der folgende Python-Code verwendet die Darstellungen aus den Theoremen 6.1 und 6.3, sowie die Dezimalen aus Bemerkung 6.16:

```

1 from decimal import *
2 getcontext().prec=25
3 PI=Decimal('3.1415926535897932384626433') # 25 Stellen
4
5 for N in [7,8,11,12,16,19,27,28,43,67,163]:
6     n=Decimal(N)
7     q=(-1)**(n)*(-PI*n.sqrt()).exp()
8     J=(1+240*(q+9*q*q))**3/(q*(1-q-q*q)**24)
9     print('1728J('+str(N)+') = '+'{0:.5f}'.format(J))
10    s=(1+240*q)/(1-504*q)*(1-24*q-6/(PI*Decimal(N).sqrt()))
11    print('s2('+str(N)+') = '+'{0:.20f}'.format(s))

```

Es folgen die so berechneten Werte von \tilde{s}_2 , gerundet auf 20 Dezimalen:

$$\begin{aligned}
\tilde{s}_2(\tau_7) &\approx 0,23785\,38304\,58323\,44672 \\
\tilde{s}_2(\tau_8) &\approx 0,35700\,77648\,51828\,48245 \\
\tilde{s}_2(\tau_{11}) &\approx 0,41557\,76088\,26976\,77167 \\
\tilde{s}_2(\tau_{12}) &\approx 0,45454\,24438\,53728\,25848 \\
\tilde{s}_2(\tau_{16}) &\approx 0,52380\,94047\,98094\,76406 \\
\tilde{s}_2(\tau_{19}) &\approx 0,56140\,34954\,14919\,60322 \\
\tilde{s}_2(\tau_{27}) &\approx 0,63241\,10671\,15458\,49157 \\
\tilde{s}_2(\tau_{28}) &\approx 0,63909\,77443\,17477\,45602 \\
\tilde{s}_2(\tau_{43}) &\approx 0,70874\,86157\,25342\,98820 \\
\tilde{s}_2(\tau_{67}) &\approx 0,76667\,35447\,18802\,30119 \\
\tilde{s}_2(\tau_{163}) &\approx 0,85040\,82731\,87238\,86141
\end{aligned}$$

und die Werte von $1728\tilde{J}$, jeweils mit der nächstgelegenen ganzen Zahl:

$$\begin{aligned}
1728\tilde{J}(\tau_7) &\approx -3375,00107 \approx -15^3 \\
1728\tilde{J}(\tau_8) &\approx 7999,99959 \approx 20^3 \\
1728\tilde{J}(\tau_{11}) &\approx -32768,00002 \approx -32^3 \\
1728\tilde{J}(\tau_{12}) &\approx 53999,99999 \approx 2 \cdot 30^3 \\
1728\tilde{J}(\tau_{16}) &\approx 287496,00000 \approx 66^3 \\
1728\tilde{J}(\tau_{19}) &\approx -884736,00000 \approx -96^3 \\
1728\tilde{J}(\tau_{27}) &\approx -12288000,00000 \approx -3 \cdot 160^3 \\
1728\tilde{J}(\tau_{28}) &\approx 16581375,00000 \approx 255^3 \\
1728\tilde{J}(\tau_{43}) &\approx -884736000,00000 \approx -960^3 \\
1728\tilde{J}(\tau_{67}) &\approx -147197952000,00000 \approx -5280^3 \\
1728\tilde{J}(\tau_{163}) &\approx -262537412640768000,00000 \approx -640320^3
\end{aligned}$$

7. PICARD-FUCHS-DIFFERENTIALGLEICHUNG

In diesem Kapitel, das direkt im Anschluss an Kapitel 4 gelesen werden kann, beweisen wir die Picard-Fuchs-Differentialgleichung. Der Beweis orientiert sich stark an [10], S. 33–34 (Kap. I.2, §3). Dort hat allerdings jedes g genau das andere Vorzeichen.

Die Picard-Fuchs-Differentialgleichung wird in Kapitel 8 dazu verwendet werden, einen Zusammenhang zwischen der Periode eines Gitters und einer hypergeometrischen Funktion herzustellen.

7.1. Theorem. Für die Perioden $\Omega_{1,2}(J)$ von L_J gilt folgende Differentialgleichung:

$$\frac{d^2\Omega}{dJ^2} + \frac{1}{J} \cdot \frac{d\Omega}{dJ} + \frac{31J - 4}{144J^2(J-1)^2} \cdot \Omega = 0$$

Beweis. Zunächst gilt nach Satz 3.9 für die Perioden $\Omega_{1,2}$ und Quasiperioden $H_{1,2}$ des Gitters L_J :

$$\Omega_k = \oint_{\alpha_k} \frac{dx}{y} \quad \text{und} \quad H_k = - \oint_{\alpha_k} \frac{x \, dx}{y}$$

Die definierende Gleichung von $X(L_J)$ lautet $y^2 = 4x^3 - g(x+1)$ mit $g = \frac{27J}{J-1}$ (vgl. Satz 4.10). Hieraus folgt:

$$\begin{aligned} \frac{d}{dg}(y^2) &= \frac{d}{dg} \left(\left(\frac{1}{y} \right)^{-2} \right) = -2 \cdot \left(\frac{1}{y} \right)^{-3} \cdot \frac{d}{dg} \left(\frac{1}{y} \right) \\ \implies \frac{d}{dg} \left(\frac{1}{y} \right) &= \frac{-1}{2y^3} \cdot \frac{d}{dg}(y^2) = \frac{-1}{2y^3} \cdot \frac{d}{dg}(4x^3 - g(x+1)) = \frac{x+1}{2y^3} \end{aligned}$$

Somit folgen die Ableitungen von Ω und H nach g mit der Leibnizregel:

$$\begin{aligned} \frac{d\Omega}{dg} &= \frac{d}{dg} \left(\oint_{\alpha} \frac{dx}{y} \right) = \oint_{\alpha} \frac{d}{dg} \left(\frac{1}{y} \right) dx = \oint_{\alpha} \frac{x \, dx}{2y^3} + \oint_{\alpha} \frac{dx}{2y^3} \\ \text{und} \quad \frac{dH}{dg} &= \frac{d}{dg} \left(- \oint_{\alpha} \frac{x \, dx}{y} \right) = - \oint_{\alpha} \frac{d}{dg} \left(\frac{1}{y} \right) \cdot x \, dx = - \oint_{\alpha} \frac{x^2 \, dx}{2y^3} - \oint_{\alpha} \frac{x \, dx}{2y^3} \end{aligned}$$

Wir müssen also noch die Werte der Integrale $I_n := \oint_{\alpha} \frac{x^n \, dx}{2y^3}$ für $n = 0, 1, 2$ berechnen. Hierfür verwenden wir die Funktionen $f_n(x) := \frac{x^n}{y}$ mit $n = 0, 1, 2$. Für deren Ableitungen gilt nämlich $\oint_{\alpha} f'_n(x) dx = \int_0^1 f'_n(\alpha(t)) \alpha'(t) dt = [f_n(\alpha(t))]_0^1 = 0$ (weil α nach Satz 3.9 eine geschlossene Kurve ist, die die Nullstellen und Polstellen der \wp -Funktion vermeidet). Daraus werden wir dann Beziehungen zwischen den eigentlich gesuchten Integralen erhalten. Zunächst benötigen wir aber die Ableitungen von f_0 , f_1 und f_2 :

$$\begin{aligned} f_0(x) &= \frac{1}{y} \\ f'_0(x) &= \frac{-1}{2y^3} \cdot \frac{d}{dx}(y^2) = \frac{-1}{2y^3} \cdot \frac{d}{dx}(4x^3 - g(x+1)) \\ &= \frac{-1}{2y^3} \cdot (12x^2 - g) = \frac{g - 12x^2}{2y^3} \end{aligned}$$

$$\begin{aligned}
f_1(x) &= \frac{x}{y} = x \cdot f_0(x) \\
f'_1(x) &= f_0(x) + x \cdot f'_0(x) = \frac{1}{y} + x \cdot \frac{g - 12x^2}{2y^3} = \frac{1}{y} + \frac{gx - 3 \cdot 4x^3}{2y^3} \\
&= \frac{1}{y} + \frac{gx - 3 \cdot (y^2 + gx + g)}{2y^3} = \frac{1}{y} + \frac{-3y^2 - 2gx - 3g}{2y^3} \\
&= \frac{2}{2y} - \frac{3y^2}{2y^3} - \frac{2gx + 3g}{2y^3} = -\frac{1}{2y} - \frac{2gx + 3g}{2y^3} \\
f_2(x) &= \frac{x^2}{y} = x \cdot f_1(x) \\
f'_2(x) &= f_1(x) + x \cdot f'_1(x) = \frac{x}{y} + x \cdot \left(-\frac{1}{2y} - \frac{2gx + 3g}{2y^3} \right) \\
&= \frac{2x}{2y} - \frac{x}{2y} - \frac{2gx^2 + 3gx}{2y^3} = \frac{x}{2y} - \frac{2gx^2 + 3gx}{2y^3}
\end{aligned}$$

Somit lauten die Beziehungen zwischen den Integralen $I_n = \oint_{\alpha} \frac{x^n dx}{2y^3}$:

$$\begin{aligned}
0 &= \oint_{\alpha} f'_0(x) dx = g \cdot \oint_{\alpha} \frac{dx}{2y^3} - 12 \cdot \oint_{\alpha} \frac{x^2 dx}{2y^3} \\
0 &= \oint_{\alpha} f'_1(x) dx = -\underbrace{\oint_{\alpha} \frac{dx}{2y}}_{=\frac{1}{2}\Omega} - 2g \cdot \oint_{\alpha} \frac{x dx}{2y^3} - 3g \cdot \oint_{\alpha} \frac{dx}{2y^3} \\
0 &= \oint_{\alpha} f'_2(x) dx = \underbrace{\oint_{\alpha} \frac{x dx}{2y}}_{=-\frac{1}{2}H} - 2g \cdot \oint_{\alpha} \frac{x^2 dx}{2y^3} - 3g \cdot \oint_{\alpha} \frac{x dx}{2y^3}
\end{aligned}$$

also gilt für die Integrale I_0, I_1, I_2 folgendes lineares Gleichungssystem:

$$\left| \begin{array}{lll} g \cdot I_0 & - 12 \cdot I_2 = 0 & (\text{I}) \\ 3g \cdot I_0 + 2g \cdot I_1 & = -\frac{1}{2} \cdot \Omega & (\text{II}) \\ 3g \cdot I_1 + 2g \cdot I_2 & = -\frac{1}{2} \cdot H & (\text{III}) \end{array} \right. \implies \left| \begin{array}{l} I_0 = \frac{9\Omega - 6H}{2g(g - 27)} \\ I_1 = \frac{18H - g\Omega}{4g(g - 27)} \\ I_2 = \frac{3\Omega - 2H}{8(g - 27)} \end{array} \right|$$

Um das Gleichungssystem nach den gesuchten Integralwerten I_0, I_1, I_2 aufzulösen, kann man z.B. mit Hilfe von (III) $-1,5 \cdot (\text{II}) + 4,5 \cdot (\text{I})$ den Wert von I_2 berechnen. Dann erhält man aus (I) den Wert I_0 und schließlich aus (II) den Wert I_1 . Mit diesen Ergebnissen gehen wir nun zurück zu den gesuchten Werten von $\frac{d\Omega}{dg}$ und $\frac{dH}{dg}$:

$$\frac{d\Omega}{dg} = I_0 + I_1 = \frac{9\Omega - 6H}{2g(g - 27)} + \frac{18H - g\Omega}{4g(g - 27)} = \frac{(18 - g)\Omega + 6H}{4g(g - 27)}$$

und

$$\frac{dH}{dg} = -I_1 - I_2 = -\frac{18H - g\Omega}{4g(g - 27)} - \frac{3\Omega - 2H}{8(g - 27)} = \frac{(2g - 36)H - g\Omega}{8g(g - 27)}$$

Aufgrund des eindeutigen Zusammenhangs zwischen g und J (nämlich $g = \frac{27J}{J-1}$) kann man diese beiden Gleichungen, die von g abhängen, in Gleichungen umwandeln, die stattdessen von J abhängen. Dazu nutzen wir, dass $\frac{dg}{dJ} = \frac{-27}{(J-1)^2}$ ist, und dass wir die Ableitung nach g somit durch eine nach J ersetzen können: $\frac{d}{dg} = \left(\frac{dg}{dJ}\right)^{-1} \cdot \frac{d}{dJ}$. Deshalb

übersetzen sich die beiden Gleichungen in

$$(10) \quad \frac{(J-1)^2}{-27} \cdot \frac{d\Omega}{dJ} = \frac{\left(18 - \frac{27J}{J-1}\right)\Omega + 6H}{4 \cdot \frac{27J}{J-1} \cdot \left(\frac{27J}{J-1} - 27\right)}$$

$$\implies 36J(J-1) \frac{d\Omega}{dJ} = 3(J+2)\Omega - 2(J-1)H$$

und

$$\frac{(J-1)^2}{-27} \cdot \frac{dH}{dJ} = \frac{\left(2 \cdot \frac{27J}{J-1} - 36\right)H - \frac{27J}{J-1}\Omega}{8 \cdot \frac{27J}{J-1} \cdot \left(\frac{27J}{J-1} - 27\right)}$$

$$(11) \quad \implies 24J(J-1) \frac{dH}{dJ} = 3J\Omega - 2(J+2)H$$

Wenn wir nun Gleichung (10) nochmals nach J ableiten (unter Beachtung der Produktregel), erhalten wir nach Zusammenfassen gleichartiger Terme:

$$36J(J-1) \frac{d^2\Omega}{dJ^2} + (69J-42) \frac{d\Omega}{dJ} + 2(J-1) \frac{dH}{dJ} - 3\Omega + 2H = 0$$

Nun eliminieren wir aus dieser Gleichung zunächst $\frac{dH}{dJ}$ mit Hilfe von Gleichung (11). Aus der resultierenden Gleichung eliminieren wir dann H mit Hilfe von (10). Somit erhalten wir die gesuchte Differentialgleichung für $\Omega(J)$:

$$\frac{d^2\Omega}{dJ^2} + \frac{1}{J} \cdot \frac{d\Omega}{dJ} + \frac{31J-4}{144J^2(J-1)^2} \cdot \Omega = 0$$

□

8. KUMMERS LÖSUNG

Ziel dieses Kapitels ist es, mit Hilfe der Picard-Fuchs-Differentialgleichung einen Zusammenhang zwischen den Perioden des Gitters $\tilde{L} = \Delta(\tau)^{\frac{1}{12}} \cdot L_\tau$ und der hypergeometrischen Funktion ${}_2F_1\left(\frac{1}{12}, \frac{5}{12}; 1; \frac{1}{J}\right)$ herzustellen. Dieser Zusammenhang wird in Theorem 8.4 formuliert.

8.1. Satz. *Die Funktion $b(J)$, die im Bereich $|J| > 1$ wie folgt definiert ist:*

$$b(J) := J^{-\frac{1}{4}} \cdot (1 - J)^{\frac{1}{4}} \cdot {}_2F_1\left(\frac{1}{12}, \frac{5}{12}; 1; \frac{1}{J}\right)$$

erfüllt die Picard-Fuchs-Differentialgleichung aus Theorem 7.1, ganz egal für welche vierte Wurzel wir uns entscheiden. Diese Lösung ist eine von 16 Lösungen, die auf E. Kummer zurückgehen.

Beweis. Aus Satz 1.3 folgt die Konvergenz der hypergeometrischen Summe im Bereich $|J| > 1$. Dann bemerken wir, dass die Picard-Fuchs-Differentialgleichung homogen ist, also dass mit jeder Lösung $b(J)$ auch $c \cdot b(J)$ eine Lösung ist – somit müssen wir uns wieder keine Gedanken über die Wahl der Wurzeln machen. Aus der Definition von $b(J)$ folgt dann, dass ${}_2F_1\left(\frac{1}{12}, \frac{5}{12}; 1; \frac{1}{J}\right) = J^{\frac{1}{4}} \cdot (1 - J)^{-\frac{1}{4}} \cdot b(J)$ ist. Nun führen wir eine neue Variable $z = \frac{1}{J}$ ein. Dann erhalten wir

$$\underbrace{{}_2F_1\left(\frac{1}{12}, \frac{5}{12}; 1; z\right)}_{=:f(z)} = \underbrace{J^{\frac{1}{4}} \cdot (1 - J)^{-\frac{1}{4}} \cdot b(J)}_{=:g(J)} \quad \text{mit } z = \frac{1}{J}.$$

Für $f(z)$ gilt aber nach Theorem 1.5 die hypergeometrische Differentialgleichung, wobei $a = \frac{1}{12}$, $b = \frac{5}{12}$ und $c = 1$ gilt:

$$(12) \quad z(z-1)f''(z) + \left(\frac{3}{2}z - 1\right)f'(z) + \frac{5}{144}f(z) = 0$$

Diese überführen wir nun in eine Differentialgleichung für $g(J)$:

Aus $z = \frac{1}{J}$ folgt $\frac{dz}{dJ} = -\frac{1}{J^2}$ und somit $\frac{dJ}{dz} = -J^2$. Somit erhalten wir:

$$\begin{aligned} f(z) &= g(J) \quad \text{mit } z = \frac{1}{J} \\ \frac{df}{dz} &= \frac{dg}{dJ} \cdot \frac{dJ}{dz} = -J^2 \cdot \frac{dg}{dJ} \\ \frac{d^2f}{dz^2} &= -J^2 \frac{d}{dJ} \left(-J^2 \cdot \frac{dg}{dJ}\right) = J^4 \cdot \frac{d^2g}{dJ^2} + 2J^3 \cdot \frac{dg}{dJ} \end{aligned}$$

Das setzen wir jetzt in (12) ein und erhalten eine Differentialgleichung für $g(J)$:

$$\begin{aligned} &\frac{1}{J} \left(\frac{1}{J} - 1\right) \cdot (J^4 \cdot g''(J) + 2J^3 \cdot g'(J)) \\ &+ \left(\frac{3}{2} \cdot \frac{1}{J} - 1\right) \cdot (-J^2 \cdot g'(J)) + \frac{5}{144}g(J) = 0 \\ \implies &J^2(1 - J)g''(J) + \left(2J(1 - J) - \frac{3}{2}J + J^2\right)g'(J) + \frac{5}{144}g(J) = 0 \\ (13) \quad \implies &J^2(1 - J)g''(J) + \left(-J^2 + \frac{1}{2}J\right)g'(J) + \frac{5}{144}g(J) = 0 \end{aligned}$$

Wir haben $g(J) := J^{\frac{1}{4}} \cdot (1 - J)^{-\frac{1}{4}} \cdot b(J)$ definiert und suchen eigentlich eine Differentialgleichung für $b(J)$.

Hierzu benennen wir den Faktor mit $a(J) := J^{\frac{1}{4}} \cdot (1-J)^{-\frac{1}{4}}$, sodass $g(J) = a(J) \cdot b(J)$ ist. Mit Hilfe der Ableitungen von $a(J)$ werden wir dann die Differentialgleichung für $g(J)$ in eine für $b(J)$ überführen. Doch zunächst die Ableitungen von $a(J)$:

$$\begin{aligned} a(J) &= J^c \cdot (1-J)^{-c} \quad \text{mit } c = \frac{1}{4} \\ a'(J) &= cJ^{c-1}(1-J)^{-c} + cJ^c(1-J)^{-c-1} \\ a''(J) &= c(c-1)J^{c-2}(1-J)^{-c} + c^2J^{c-1}(1-J)^{-c-1} \cdot 2 + c(c+1)J^c(1-J)^{-c-2} \end{aligned}$$

Diese lassen sich als Vielfache von $a(J)$ darstellen, um später mit $a(J)$ kürzen zu können:

$$\begin{aligned} a'(J) &= a(J) \cdot (cJ^{-1} + c(1-J)^{-1}) = \left(\frac{1}{4J} + \frac{1}{4(1-J)} \right) a(J) = \frac{1}{4J(1-J)} \cdot a(J) \\ a''(J) &= a(J) \cdot (c(c-1)J^{-2} + 2c^2J^{-1}(1-J)^{-1} + c(c+1)(1-J)^{-2}) \\ &= \left(\frac{-3}{16J^2} + \frac{2}{16J(1-J)} + \frac{5}{16(1-J)^2} \right) a(J) = \frac{8J-3}{16J^2(1-J)^2} \cdot a(J) \end{aligned}$$

Somit folgt für $g(J)$:

$$\begin{aligned} g(J) &= a(J) \cdot b(J) \\ g'(J) &= a'(J) \cdot b(J) + a(J) \cdot b'(J) \\ &= \frac{1}{4J(1-J)} \cdot a(J) \cdot b(J) + a(J) \cdot b'(J) \\ g''(J) &= a''(J) \cdot b(J) + 2a'(J) \cdot b'(J) + a(J) \cdot b''(J) \\ &= \frac{8J-3}{16J^2(1-J)^2} \cdot a(J) \cdot b(J) + \frac{2}{4J(1-J)} \cdot a(J) \cdot b'(J) + a(J) \cdot b''(J) \end{aligned}$$

Das setzen wir jetzt in (13) ein und erhalten:

$$\begin{aligned} J^2(1-J) &\left(\frac{8J-3}{16J^2(1-J)^2} \cdot a(J) \cdot b(J) + \frac{2}{4J(1-J)} \cdot a(J) \cdot b'(J) + a(J) \cdot b''(J) \right) \\ &+ \left(-J^2 + \frac{1}{2}J \right) \left(\frac{1}{4J(1-J)} \cdot a(J) \cdot b(J) + a(J) \cdot b'(J) \right) + \frac{5}{144} a(J) \cdot b(J) = 0 \end{aligned}$$

Wir dividieren durch $a(J)$, das in jedem Summand vorkommt, und sortieren ein bisschen:

$$\begin{aligned} J^2(1-J)b''(J) &+ \left(\frac{2J^2(1-J)}{4J(1-J)} - J^2 + \frac{1}{2}J \right) b'(J) \\ &+ \left(\frac{8J-3}{16(1-J)} + \frac{-J^2 + \frac{1}{2}J}{4J(1-J)} + \frac{5}{144} \right) b(J) = 0 \\ \implies J^2(1-J)b''(J) &+ J(1-J)b'(J) + \frac{31J-4}{144(1-J)}b(J) = 0 \quad | : (J^2(1-J)) \\ \implies b''(J) &+ \frac{1}{J} \cdot b'(J) + \frac{31J-4}{144J^2(1-J)^2} \cdot b(J) = 0 \end{aligned}$$

Hier erkennen wir genau die Picard-Fuchs-Differentialgleichung aus Theorem 7.1 und der Beweis ist fertig. \square

8.2. Definition. Wir nennen das zu folgende zu L_τ äquivalente Gitter \tilde{L} :

$$\tilde{L} = \mathbb{Z}\tilde{\omega}_1 + \mathbb{Z}\tilde{\omega}_2 \quad \text{mit} \quad (\tilde{\omega}_1, \tilde{\omega}_2) = \Delta(\tau)^{\frac{1}{12}} \cdot (1, \tau)$$

8.3. Bemerkung. Ab hier tauchen verschiedene n -te Wurzeln auf, wie hier z.B. eine zwölftes Wurzel. Wir werden uns bei Zwischenrechnungen nicht festlegen, welchen Zweig dieser Wurzeln wir verwenden, sodass die Gleichungen nur bis auf eine n -te Einheitswurzel korrekt sind. Das Hauptresultat in Theorem 9.7 gilt jedoch exakt, wenn man den Hauptzweig der Wurzel verwendet. Hierfür müssen wir dann nur noch an einer Stelle nachweisen, dass die Gleichung exakt gilt.

8.4. Theorem. Für alle τ mit $\operatorname{Im}(\tau) > 1,25$ gilt:

$$\tilde{\omega}_1 = \Delta(\tau)^{\frac{1}{12}} = \frac{2\pi}{\sqrt[4]{12}} \cdot J(\tau)^{-\frac{1}{12}} \cdot {}_2F_1\left(\frac{1}{12}, \frac{5}{12}; 1; \frac{1}{J(\tau)}\right)$$

8.5. Bemerkung. Eigentlich gilt die Formel aus Theorem 8.4 sogar für alle τ mit $\operatorname{Im}(\tau) > 1$ und $|J(\tau)| > 1$ (siehe den in Abbildung 2 gefärbten Bereich), aber für die Herleitung der Chudnovsky-Formel und der zehn anderen Formeln wird der in Theorem 6.1 bewiesene Bereich $\operatorname{Im}(\tau) > 1,25$ ausreichen.

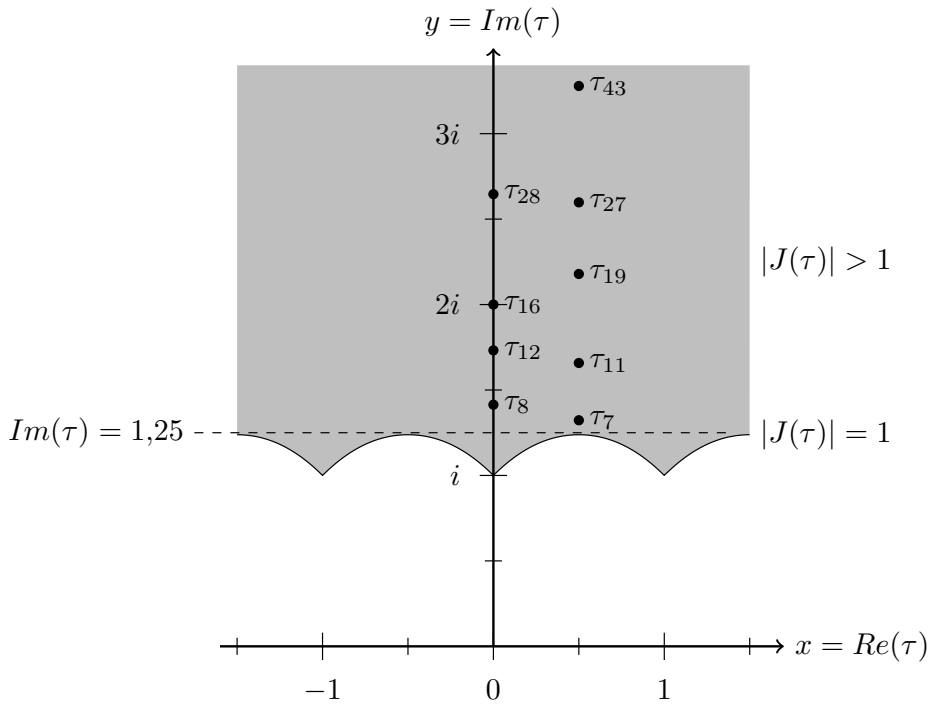


ABBILDUNG 2. Hier ist das Gebiet mit $\operatorname{Im}(\tau) > 1$ und $|J(\tau)| > 1$ gefärbt, das mit Mathematica berechnet wurde. Außerdem sind die zu $\tau_N := (N + i\sqrt{N})/2$ äquivalenten Werte eingezeichnet, die später auf eine Formel zur Berechnung von π führen werden. τ_{67} und τ_{163} liegen oberhalb von τ_{43} außerhalb des dargestellten Bereichs.

Beweis des Theorems 8.4. In Theorem 6.1 haben wir bewiesen, dass für alle τ mit $\operatorname{Im}(\tau) > 1,25$ gilt: $|J(\tau)| > 1$. Aus Satz 1.3 folgt dann mit $|z| = |\frac{1}{J}| < 1$ die absolute Konvergenz der angegebenen hypergeometrischen Funktion ${}_2F_1$ im Bereich $\operatorname{Im}(\tau) > 1,25$. Der jetzt folgende Beweis des Theorems 8.4 orientiert sich an [1], Kap. 2.3 und 2.5:

Wir haben gerade bewiesen, dass $b(J) = J^{-\frac{1}{4}} \cdot (1 - J)^{\frac{1}{4}} \cdot {}_2F_1\left(\frac{1}{12}, \frac{5}{12}; 1; \frac{1}{J}\right)$ für $|J| > 1$ eine Lösung der Picard-Fuchs-Differentialgleichung ist. Wir kennen aber bereits

zwei unabhängige Lösungen dieser Differentialgleichung zweiter Ordnung – nämlich die beiden Basisperioden Ω_1 und Ω_2 von L_J . Hieraus folgt mit dem Satz von Picard-Lindelöf, dass man die Lösung $b(J)$ als Linearkombination dieser beiden Perioden schreiben kann, also dass es zwei komplexe Zahlen A und B gibt, sodass $b(J) = A \cdot \Omega_1(J) + B \cdot \Omega_2(J)$ ist.

In Definition 4.8 erkennen wir, dass man die Basisperioden (Ω_1, Ω_2) von L_J in der Form $\mu(\tau) \cdot (1, \tau)$ mit $\mu(\tau) = \sqrt{\frac{g_3(\tau)}{g_2(\tau)}}$ schreiben kann. Wir werden zunächst μ mit Hilfe der J -Funktion schreiben:

$$\begin{aligned} \frac{27J}{J-1} &= \frac{27g_2^3}{\Delta \cdot \left(\frac{g_2^3}{\Delta} - 1 \right)} = \frac{27g_2^3}{g_2^3 - \Delta} = \frac{27g_2^3}{g_2^3 - (g_2^3 - 27g_3^2)} = \frac{g_2^3}{g_3^2} \\ \implies \mu &= \sqrt{\frac{g_3}{g_2}} = \left(\frac{g_3^2}{g_2^2} \right)^{\frac{1}{4}} = \left(g_2 \cdot \frac{g_3^2}{g_2^3} \right)^{\frac{1}{4}} = \left(g_2 \cdot \frac{J-1}{27J} \right)^{\frac{1}{4}} \\ (14) \quad &= \left((J \cdot \Delta)^{\frac{1}{3}} \cdot \frac{J-1}{27J} \right)^{\frac{1}{4}} = 27^{-\frac{1}{4}} \cdot J^{-\frac{1}{6}} \cdot (J-1)^{\frac{1}{4}} \cdot \Delta^{\frac{1}{12}} \end{aligned}$$

Also gibt es komplexe A und B , sodass $b(J) = A \cdot \Omega_1 + B \cdot \Omega_2 = (A + B\tau) \cdot \mu$ und somit

$$\begin{aligned} J^{-\frac{1}{4}} \cdot (1-J)^{\frac{1}{4}} \cdot {}_2F_1 \left(\frac{1}{12}, \frac{5}{12}; 1; \frac{1}{J} \right) &= (A + B\tau) \cdot 27^{-\frac{1}{4}} \cdot J^{-\frac{1}{6}} \cdot (J-1)^{\frac{1}{4}} \cdot \Delta^{\frac{1}{12}} \\ \implies J^{-\frac{1}{12}} \cdot \Delta^{-\frac{1}{12}} \cdot {}_2F_1 \left(\frac{1}{12}, \frac{5}{12}; 1; \frac{1}{J} \right) &= C + D\tau \end{aligned}$$

für passende komplexe Zahlen C und D . Hierbei wurde u.a. der Faktor $27^{-\frac{1}{4}}$ in die neuen komplexen Zahlen C und D integriert.

Um D zu berechnen, bemerken wir zunächst, dass $e^{2\pi i(\tau+1)} = e^{2\pi i\tau} \cdot e^{2\pi i} = e^{2\pi i\tau}$ gilt. Dann folgt mit den Darstellungen in Theorem 5.1, dass $E_4(\tau+1) = E_4(\tau)$ und $E_6(\tau+1) = E_6(\tau)$ gilt. Hieraus folgt (ebenfalls mit den Darstellungen aus Theorem 5.1), dass $J(\tau+1) = J(\tau)$ und $\Delta(\tau+1) = \Delta(\tau)$ ist. Folglich ist die linke Seite dieser Gleichung invariant unter der Transformation $\tau \mapsto \tau + 1$, also muss es auch die rechte Seite sein – wir erhalten $D = 0$.

Den Wert von C erhalten wir z.B., indem wir auf der linken Seite $\tau \rightarrow i\infty$ gehen lassen (das dürfen wir, weil diese Lösung im ganzen Bereich $Im(\tau) > 1,25$ gilt) und somit $q = e^{2\pi i\tau} \rightarrow 0$. Dort gilt allerdings nach Theorem 6.1, dass $|1728J| > \frac{0,737}{|q|}$, also dass $\frac{1}{J(\tau)} \rightarrow 0$ gilt und somit aus Def. 1.2 folgt, dass ${}_2F_1 \left(\frac{1}{12}, \frac{5}{12}; 1; \frac{1}{J} \right) \rightarrow 1$. Somit gilt wegen der Darstellung von J und Δ aus Theorem 5.1 und wegen der dort befindlichen Darstellung von E_4 :

$$\begin{aligned} C &= \lim_{\tau \rightarrow i\infty} (J(\tau) \cdot \Delta(\tau))^{-\frac{1}{12}} = \lim_{\tau \rightarrow i\infty} \left(\frac{(2\pi)^{12}}{1728} \cdot E_4(\tau)^3 \right)^{-\frac{1}{12}} \\ &= \left(\frac{(2\pi)^{12}}{12^3} \cdot 1 \right)^{-\frac{1}{12}} = \frac{12^{\frac{1}{4}}}{2\pi} \end{aligned}$$

Schließlich erhalten wir

$${}_2F_1 \left(\frac{1}{12}, \frac{5}{12}; 1; \frac{1}{J(\tau)} \right) = \frac{\sqrt[4]{12}}{2\pi} \cdot J(\tau)^{\frac{1}{12}} \cdot \Delta(\tau)^{\frac{1}{12}}$$

und erkennen darin wegen $\tilde{\omega}_1 = \Delta(\tau)^{\frac{1}{12}}$ die zu beweisende Gleichung. \square

9. BEWEIS DES HAUPTTHEOREMS

Wir werden, ausgehend von Kummers Lösung (Thm. 8.4) und mit Hilfe der Clausen-Formel (Thm. 1.7) und den Fourierdarstellungen (Thm. 5.1), das Haupttheorem 9.7 beweisen. Dieses Kapitel orientiert sich stark am Paper von Chen und Glebov [4].

Zunächst stellen wir die Bezeichnungen für die Perioden und Quasiperioden der drei äquivalenten Gitter L_τ , L_J und \tilde{L} zusammen (vgl. Def. 4.8 und Def. 8.2):

Gitter und Perioden	Quasiperioden
$L_\tau : (\omega_1, \omega_2) = (1, \tau)$	$(\eta_1, \eta_2) = (\eta_1(L_\tau), \eta_2(L_\tau))$
$L_J : (\Omega_1, \Omega_2) = \sqrt{\frac{g_3(\tau)}{g_2(\tau)}} \cdot (1, \tau)$	$(H_1, H_2) = \sqrt{\frac{g_2(\tau)}{g_3(\tau)}} \cdot (\eta_1(L_\tau), \eta_2(L_\tau))$
$\tilde{L} : (\tilde{\omega}_1, \tilde{\omega}_2) = \Delta(\tau)^{\frac{1}{12}} \cdot (1, \tau)$	$(\tilde{\eta}_1, \tilde{\eta}_2) = \Delta(\tau)^{-\frac{1}{12}} \cdot (\eta_1(L_\tau), \eta_2(L_\tau))$

Wenn wir im Folgenden einen der Ausdrücke η_1 , η_2 , g_2 , g_3 oder Δ schreiben, meinen wir damit $\eta_1(L_\tau)$, $\eta_2(L_\tau)$, $g_2(\tau)$, $g_3(\tau)$ bzw. $\Delta(\tau)$. Außerdem werden wir uns genau wie in Bemerkung 8.3 bei den Zwischenschritten keine Gedanken zur Wahl der Wurzel machen, erst am Ende bei der Formulierung des Haupttheorems 9.7.

9.1. Satz. Für $k = 1$ und für $k = 2$ gilt:

$$\tilde{\eta}_k = -\sqrt{12}J^{\frac{2}{3}}\sqrt{J-1} \cdot \frac{d\tilde{\omega}_k}{dJ}$$

Beweis. Für $\sqrt{\frac{g_3}{g_2}}$ haben wir die Darstellung (14) berechnet:

$$(15) \quad \sqrt{\frac{g_3}{g_2}} = \underbrace{J^{-\frac{1}{6}} \cdot \left(\frac{J-1}{27} \right)^{\frac{1}{4}}}_{=: A(J)} \cdot \Delta^{\frac{1}{12}}$$

Hieraus folgt ein direkter Zusammenhang zwischen L_J und \tilde{L} :

$$\begin{aligned} (\Omega_1, \Omega_2) &= \sqrt{\frac{g_3}{g_2}} \cdot (1, \tau) = \sqrt{\frac{g_3}{g_2}} \cdot \Delta^{-\frac{1}{12}} \cdot (\tilde{\omega}_1, \tilde{\omega}_2) = A(J) \cdot (\tilde{\omega}_1, \tilde{\omega}_2) \\ (H_1, H_2) &= \sqrt{\frac{g_2}{g_3}} \cdot (\eta_1, \eta_2) = \sqrt{\frac{g_2}{g_3}} \cdot \Delta^{\frac{1}{12}} \cdot (\tilde{\eta}_1, \tilde{\eta}_2) = \frac{1}{A(J)} \cdot (\tilde{\eta}_1, \tilde{\eta}_2) \end{aligned}$$

Die erste Zeile leiten wir noch nach J ab und erhalten:

$$\begin{aligned} \frac{d\Omega}{dJ} &= A(J) \cdot \frac{d\tilde{\omega}}{dJ} + \left(-\frac{1}{6J} + \frac{1}{4(J-1)} \right) \cdot A(J) \cdot \tilde{\omega} \\ &= A(J) \cdot \left(\frac{d\tilde{\omega}}{dJ} + \frac{J+2}{12J(J-1)} \cdot \tilde{\omega} \right) \end{aligned}$$

Wir setzen die soeben gefundenen Zusammenhänge nun auf Seite 31 in Gleichung (10) ein, und erhalten die zu beweisende Gleichung:

$$\begin{aligned} 36J(J-1) A(J) \cdot \overbrace{\left(\frac{d\tilde{\omega}}{dJ} + \frac{J+2}{12J(J-1)} \cdot \tilde{\omega} \right)}^{\frac{d\Omega}{dJ}} &= 3(J+2) \overbrace{A(J)\tilde{\omega}}^{\Omega} - 2(J-1) \overbrace{\frac{1}{A(J)}\tilde{\eta}}^H \\ \implies \frac{2(J-1)}{A(J)} \cdot \tilde{\eta} &= -36J(J-1)A(J) \cdot \frac{d\tilde{\omega}}{dJ} \\ \implies \tilde{\eta} &= -\sqrt{12}J^{\frac{2}{3}}\sqrt{J-1} \cdot \frac{d\tilde{\omega}}{dJ} \quad \square \end{aligned}$$

9.2. Definition. Die folgende Funktion, die sich aus normierten Eisensteinreihen zusammensetzt, nennen wir

$$s_2(\tau) := \frac{E_4(\tau)}{E_6(\tau)} \left(E_2(\tau) - \frac{3}{\pi \operatorname{Im}(\tau)} \right)$$

9.3. Bemerkung. s_2 ist eine nichtholomorphe Funktion, die aber genau das gleiche Transformationsverhalten wie die J -Funktion hat – auch für s_2 gilt, dass es bei äquivalenten Gittern den gleichen Wert annimmt. Und in Theorem 10.3 werden wir sehen, dass die Werte von s_2 in $\mathbb{Q}(J)$ liegen, also sogar rational sind, solange $1728J$ ganzzahlig ist.

9.4. Satz. Es gilt

$$\eta_1 - \frac{3g_3}{2g_2}s_2(\tau) = \frac{\pi}{\operatorname{Im}(\tau)}$$

Beweis. Wir lösen die Darstellungen von η_1 , g_2 und g_3 aus Theorem 5.1 nach E_2 , E_4 und E_6 auf, setzen die Ergebnisse in die Definition von $s_2(\tau)$ ein und erhalten:

$$\begin{aligned} s_2(\tau) &= \frac{\frac{3g_2}{4\pi^4}}{\frac{27g_3}{8\pi^6}} \left(\frac{3\eta_1}{\pi^2} - \frac{3}{\pi \operatorname{Im}(\tau)} \right) = \frac{2\pi^2}{9} \cdot \frac{g_2}{g_3} \left(\frac{3\eta_1}{\pi^2} - \frac{3}{\pi \operatorname{Im}(\tau)} \right) \\ &= \frac{2g_2}{3g_3} \cdot \eta_1 - \frac{2\pi g_2}{3g_3 \operatorname{Im}(\tau)} \\ \implies \quad \frac{2g_2}{3g_3} \cdot \eta_1 - s_2(\tau) &= \frac{2\pi g_2}{3g_3 \operatorname{Im}(\tau)} \quad \left| \cdot \frac{3g_3}{2g_2} \right. \\ \implies \quad \eta_1 - \frac{3g_3}{2g_2} \cdot s_2(\tau) &= \frac{\pi}{\operatorname{Im}(\tau)} \end{aligned}$$

□

9.5. Satz. Für alle τ mit $\operatorname{Im}(\tau) > 1,25$ gilt

$$\frac{1}{2\pi \operatorname{Im}(\tau)} \sqrt{\frac{J}{J-1}} = \frac{1-s_2(\tau)}{6} F^2 - J \frac{d}{dJ} F^2$$

Dabei ist $F = {}_2F_1\left(\frac{1}{12}, \frac{5}{12}; 1; \frac{1}{J}\right)$ und $J = J(\tau)$.

Beweis. Zunächst sagt Theorem 8.4, dass $\tilde{\omega}_1 = \frac{2\pi}{\sqrt[4]{12}} \cdot J^{-\frac{1}{12}} \cdot F$ im angegebenen Bereich gilt. Die Ableitung dieser Gleichung nach J liefert mit der Produktregel:

$$\frac{d\tilde{\omega}_1}{dJ} = \frac{2\pi}{\sqrt[4]{12}} \cdot J^{-\frac{1}{12}} \cdot \left(\frac{-1}{12J} \cdot F + \frac{dF}{dJ} \right)$$

Das setzen wir nun in die Gleichung aus Satz 9.1 ein:

$$\begin{aligned} \tilde{\eta}_1 &= -\sqrt{12} J^{\frac{2}{3}} \sqrt{J-1} \cdot \overbrace{\frac{2\pi}{\sqrt[4]{12}} \cdot J^{-\frac{1}{12}} \cdot \left(\frac{-1}{12J} \cdot F + \frac{dF}{dJ} \right)}^{\frac{d\tilde{\omega}_1}{dJ}} \\ &= -2\pi \sqrt[4]{12} J^{\frac{7}{12}} \sqrt{J-1} \cdot \left(\frac{-1}{12J} \cdot F + \frac{dF}{dJ} \right) \end{aligned}$$

Das setzen wir jetzt in die Gleichung aus Satz 9.4 ein und verwenden noch die Darstellung für $\frac{g_3}{g_2}$ aus Gleichung (15) auf S. 36:

$$\begin{aligned} \underbrace{\eta_1}_{\eta_1 = \Delta^{\frac{1}{12}} \tilde{\eta}_1} - 2\pi \sqrt[4]{12} J^{\frac{7}{12}} \sqrt{J-1} \cdot \Delta^{\frac{1}{12}} \cdot \left(\frac{-1}{12J} \cdot F + \frac{dF}{dJ} \right) &- \underbrace{\frac{3}{2} J^{-\frac{1}{3}} \cdot \left(\frac{J-1}{27} \right)^{\frac{1}{2}} \cdot \Delta^{\frac{1}{6}} \cdot s_2(\tau)}_{\frac{3g_3}{2g_2}} \\ &= \frac{\pi}{\operatorname{Im}(\tau)} \end{aligned}$$

An dieser Stelle verwenden wir nochmals die Darstellung aus Theorem 8.4 und erhalten eine Darstellung für $\Delta^{\frac{1}{12}}$:

$$1 = \omega_1 = \Delta^{-\frac{1}{12}} \cdot \tilde{\omega}_1 = \Delta^{-\frac{1}{12}} \cdot \frac{2\pi}{\sqrt[4]{12}} \cdot J^{-\frac{1}{12}} \cdot F \implies \Delta^{\frac{1}{12}} = \frac{2\pi}{\sqrt[4]{12}} \cdot J^{-\frac{1}{12}} \cdot F$$

Wenn wir diese in die vorige Gleichung einsetzen, erhalten wir nach kurzer Rechnung:

$$\begin{aligned} -2\pi^2 \sqrt{\frac{J-1}{J}} \cdot J \cdot \underbrace{2F \frac{dF}{dJ}}_{\frac{d}{dJ}(F^2)} + \frac{\pi^2}{3} \cdot \sqrt{\frac{J-1}{J}} \cdot (1 - s_2(\tau)) \cdot F^2 &= \frac{\pi}{Im(\tau)} \\ \implies -J \cdot \frac{d}{dJ}(F^2) + \frac{1 - s_2(\tau)}{6} \cdot F^2 &= \frac{1}{2\pi Im(\tau)} \cdot \sqrt{\frac{J}{J-1}} \end{aligned}$$

□

Nun nutzen wir noch die Formel von Clausen, um einen Ausdruck für $F^2 = {}_2F_1$ einsetzen zu können:

9.6. Satz. Das Quadrat der speziellen hypergeometrischen Funktion ${}_2F_1$ kann man wie folgt darstellen:

$$\left({}_2F_1\left(\frac{1}{12}, \frac{5}{12}; 1; z\right)\right)^2 = \sum_{n=0}^{\infty} \frac{(6n)!}{(3n)!(n!)^3} \frac{z^n}{12^{3n}}$$

Beweis. Aus der Formel von Clausen (Theorem 1.7 auf Seite 6) folgt mit Hilfe von Definition 1.2 auf Seite 4:

(16)

$$\left({}_2F_1\left(\frac{1}{12}, \frac{5}{12}; 1; z\right)\right)^2 = {}_3F_2\left(\frac{1}{6}, \frac{5}{6}, \frac{1}{2}; 1, 1; z\right) = \sum_{n=0}^{\infty} \frac{\left(\frac{1}{6}\right)_n \cdot \left(\frac{5}{6}\right)_n \cdot \left(\frac{1}{2}\right)_n}{(1)_n \cdot (1)_n} \cdot \frac{z^n}{n!}$$

Nun gilt jedoch $(1)_n = n!$, also müssen wir nur noch einen Ausdruck für $\left(\frac{1}{6}\right)_n \cdot \left(\frac{5}{6}\right)_n \cdot \left(\frac{1}{2}\right)_n$ finden.

Wenn $a = \frac{p}{q}$ ein Verhältnis zweier natürlicher Zahlen ist, dann gilt aufgrund der Definition 1.1 der Pochhammer-Symbole:

$$\left(\frac{p}{q}\right)_n = \prod_{k=1}^n \left(\frac{p}{q} + k - 1\right) = q^{-n} \prod_{k=1}^n (p + kq - q).$$

Hieraus folgt (vgl. [4, Lemma 4.1]):

$$\begin{aligned} \left(\frac{1}{6}\right)_n \cdot \left(\frac{5}{6}\right)_n \cdot \left(\frac{3}{6}\right)_n &= 6^{-3n} \prod_{k=1}^n (6k-5)(6k-3)(6k-1) \\ &= 6^{-3n} \cdot 1 \cdot 3 \cdot 5 \cdot 7 \cdots (6n-1) \\ &= 6^{-3n} \cdot \frac{(6n)!}{2 \cdot 4 \cdot 6 \cdots 6n} \\ &= 6^{-3n} \cdot \frac{(6n)!}{2^{3n} \cdot (3n)!} = \frac{(6n)!}{(3n)! \cdot 12^{3n}} \end{aligned}$$

Wenn wir das in Gleichung (16) einsetzen, erhalten wir mit $(1)_n = n!$:

$$\left({}_2F_1\left(\frac{1}{12}, \frac{5}{12}; 1; z\right)\right)^2 = \sum_{n=0}^{\infty} \frac{(6n)!}{(3n)! \cdot 12^{3n} \cdot n! \cdot n!} \cdot \frac{z^n}{n!}$$

und das ist was zu zeigen war. □

9.7. Theorem. Für alle τ mit $Im(\tau) > 1,25$ gilt die Formel von David und Gregory Chudnovsky aus dem Jahr 1988 [5, Glg. (1.4)]:

$$\frac{1}{2\pi Im(\tau)} \sqrt{\frac{J(\tau)}{J(\tau) - 1}} = \sum_{n=0}^{\infty} \left(\frac{1 - s_2(\tau)}{6} + n \right) \cdot \frac{(6n)!}{(3n)!(n!)^3} \cdot \frac{1}{(1728J(\tau))^n}$$

Hierbei muss man den Hauptzweig der Quadratwurzel verwenden.

Beweis. Für den Beweis kombinieren wir die Differentialgleichung aus Satz 9.5 mit der Darstellung aus Satz 9.6.

Wir bezeichnen zunächst wie in Satz 9.5 die Funktion $F(J) = {}_2F_1\left(\frac{1}{12}, \frac{5}{12}; 1; \frac{1}{J}\right)$ mit $J = J(\tau)$. Darüberhinaus nennen wir $G(z) = \left({}_2F_1\left(\frac{1}{12}, \frac{5}{12}; 1; z\right)\right)^2$. Dann haben wir mit $z = \frac{1}{J}$ nämlich $(F(J))^2 = G(z)$. In Satz 9.5 haben wir bereits

$$\frac{1}{2\pi Im(\tau)} \sqrt{\frac{J}{J - 1}} = \frac{1 - s_2(\tau)}{6} F^2 - J \frac{d}{dJ} F^2$$

bewiesen.

Wir wandeln diese Differentialgleichung für $F(J)$ in eine für $G(z)$ um, ähnlich wie im Beweis von Satz 8.1. Aus $J = \frac{1}{z}$ folgt $\frac{dJ}{dz} = -\frac{1}{z^2}$ und $\frac{dz}{dJ} = -z^2$. Also gilt

$$J \frac{d}{dJ} (F(J))^2 = \frac{1}{z} \cdot \frac{dz}{dJ} \cdot \frac{d}{dz} G(z) = -z \cdot \frac{d}{dz} G(z)$$

Dies liefert uns eine Differentialgleichung für $G(z)$:

$$\frac{1}{2\pi Im(\tau)} \sqrt{\frac{J}{J - 1}} = \frac{1 - s_2(\tau)}{6} G(z) + z \frac{d}{dz} G(z) \quad \text{mit } J = \frac{1}{z}$$

Hier können wir noch die Darstellung von $G(z)$ aus Satz 9.6 einsetzen:

$$\begin{aligned} G(z) &= \sum_{n=0}^{\infty} \frac{(6n)!}{(3n)!(n!)^3} \frac{z^n}{12^{3n}} \\ \implies z \frac{d}{dz} G(z) &= \sum_{n=0}^{\infty} \frac{(6n)!}{(3n)!(n!)^3} \frac{n \cdot z^n}{12^{3n}} \\ \implies \frac{1}{2\pi Im(\tau)} \sqrt{\frac{J}{J - 1}} &= \sum_{n=0}^{\infty} \left(\frac{1 - s_2(\tau)}{6} + n \right) \cdot \frac{(6n)!}{(3n)!(n!)^3} \cdot \frac{z^n}{12^{3n}} \end{aligned}$$

Und wir erhalten schließlich, wenn wir z wieder durch $\frac{1}{J}$ und 12^3 durch 1728 ersetzen, die zu beweisende Aussage.

Wir haben uns unterwegs nie Gedanken über die Wahl der Wurzel gemacht (vgl. Bemerkung 8.3), deshalb ist unser Ergebnis bisher auch nur korrekt bis auf eine zweite komplexe Einheitswurzel. Streng genommen haben wir also nur gezeigt, dass die linke Seite der Gleichung gleich \pm die rechte Seite ist. Würde man sich für den falschen Zweig der Quadratwurzel entscheiden, würde man für π einen Wert von etwa $-3,14$ erhalten, und das würde einem sicherlich auffallen. \square

10. BERECHNUNG DER KOEFFIZIENTEN

In diesem Kapitel werden wir die Näherungen aus Kapitel 6 mit einigen Ganzzahligkeitsaussagen in Theoremen 10.1 und 10.3 verbinden, um die exakten Werte von $J(\tau)$ und $s_2(\tau)$ explizit zu berechnen (Ergebnisse: siehe Theorem 10.5). Diese Werte setzen wir dann ins Haupttheorem 9.7 ein, um elf Formeln zur Berechnung von π zu erhalten – eine davon ist die Chudnovsky-Formel.

Allerdings würde (wie in Fußnote 1 auf Seite 3 bereits angekündigt) ein Beweis, dass die Koeffizienten *exakt* die berechneten Werte haben, deutlich mehr als elementare Funktionentheorie benötigen. Deshalb verweisen wir in den Beweisen der Theoreme 10.1 und 10.3 auf Literatur, in der bewiesen wird, dass $1728J$ ganzzahlig bzw. dass s_2 rational ist. Außerdem verbleibt leider die unbewiesene Vermutung 10.2.

10.1. Theorem. Es sei $\mathcal{H} := \{3; 4; 7; 8; 11; 12; 16; 19; 27; 28; 43; 67; 163\}$ und

$$\tau_N := \frac{N + i\sqrt{N}}{2} \quad \text{und} \quad j_N := 1728J(\tau_N)$$

Dann gilt für alle $N \in \mathcal{H}$, dass j_N ganzzahlig ist.

Beweis. Die Ganzzahligkeit aller j_N mit $N \in \mathcal{H}$ wird z.B. in [14] bewiesen. Die Ganzzahligkeit von j_{163} genügt für die Chudnovsky-Formel und wird in [9] bewiesen. \square

10.2. Vermutung. Für $N \in \mathcal{H}$ und τ_N wie in Theorem 10.1 ist der folgende Ausdruck *ganzalgebraisch*:

$$\sqrt{-N} \cdot \frac{E_2(\tau_N) - \frac{3}{\pi Im(\tau_N)}}{\eta^4(\tau_N)}$$

Dabei bezeichnet $\eta(\tau)$ die Dedekind'sche η -Funktion mit $1728 \cdot \eta^{24} = E_4^3 - E_6^2$ und E_2 die Eisensteinreihe vom Gewicht 2 (vgl. Theorem 5.1). (Zusatz: Eigentlich muss man nur fordern, dass τ ein CM-Punkt mit Diskriminante $D = -N$ ist.)

Beweis. Der noch ausstehende Beweis lässt sich vermutlich mittels „complex multiplication on elliptic curves“ führen.² In [16, S. 81] wird immerhin bewiesen, dass $\frac{K_2(0,0,2)}{4\pi^2\eta^4}$ algebraisch über \mathbb{Q} ist, wobei $K_2(0,0,2)$ die analytische Fortsetzung von $K_2(0,0,s) = \sum_{w \neq 0} \frac{\bar{w}^2}{|w|^{2s}}$ ist [16, S. 78], welches für $Re(s) > 2$ absolut konvergiert. In unsere Notation übersetzt sich das mit $E_2(\tau_N) - \frac{3}{\pi Im(\tau_N)} = \frac{3}{\pi^2} \cdot K_2(0,0,2)$ dazu, dass $\frac{1}{12} \cdot \frac{E_2(\tau_N) - \frac{3}{\pi Im(\tau_N)}}{\eta^4(\tau_N)}$ algebraisch über \mathbb{Q} ist. Allerdings wird auch dort nicht bewiesen, dass der genannte Ausdruck *ganzalgebraisch* ist. \square

10.3. Theorem. Es seien \mathcal{H} , τ_N und j_N wie in Theorem 10.1 definiert. Dann gibt es für alle $N \in \mathcal{H} - \{3; 4\}$ eine betragsmäßig kleinste ganze Zahl c_N (es gilt sogar $c_N \in \{-2; -1; 1\}$), sodass

$$b_N := \sqrt{c_N \cdot N \cdot (1728 - j_N)}$$

ganzzahlig ist. Außerdem ist dann auch

$$a_N := s_2(\tau_N) \cdot b_N$$

ganzzahlig und wir erhalten eine explizite Darstellung von $s_2(\tau_N)$ als Verhältnis zweier ganzer Zahlen $\frac{a_N}{b_N}$.

²Der Autor freut sich über Hinweise an lorenz.milla(at)gmx.net

Beweis. Die Ganzzahligkeit der b_N folgt aus der Ganzzahligkeit der j_N und der Tatsache, dass man c_N für alle $N \in \mathcal{H}$ so wählen kann, dass der Radikand eine Quadratzahl wird – das gilt z.B. für $c_N = N \cdot (1728 - j_N)$, aber auch für betragsmäßig deutlich kleinere c_N (sie werden in Theorem 10.5 aufgelistet).

In [12, Anhang A1] wird Theorem A1 formuliert und bewiesen. Dieses sagt:

If τ is a complex quadratic irrationality not equivalent to i , then $\Psi(\tau) = \frac{3}{2}s_2(\tau)$ lies in the field generated over \mathbb{Q} by $j(\tau) = 1728J(\tau)$.³

Nach Theorem 10.1 gilt für alle τ_N mit $N \in \mathcal{H}$, dass $j_N \in \mathbb{Z}$ ist. Deshalb gilt für alle $N \in \mathcal{H} - \{4\}$, dass $s_2(\tau_N) \in \mathbb{Q}$ ist (beachte, dass $\tau_4 = i$ wäre). Aus der Definition $a_N := s_2(\tau_N) \cdot b_N$ folgt, dass a_N für diese N als Produkt einer rationalen mit einer ganzen Zahl selbst *rational* sein muss. Es fehlt noch zu zeigen, dass diese a_N sogar *ganze* Zahlen sind. Zunächst gilt

$$1 - J(\tau_N) = \frac{E_4^3 - E_6^2}{E_4^3 - E_6^2} - \frac{E_4^3}{E_4^3 - E_6^2} = \frac{-E_6^2}{E_4^3 - E_6^2}$$

Dann verwenden wir die Dedekind'sche η -Funktion als abkürzende Schreibweise für

$$E_4^3 - E_6^2 = 1728 \cdot \eta^{24}$$

und erhalten:

$$\sqrt{1728 - j_N} = \sqrt{\frac{-1728E_6^2}{E_4^3 - E_6^2}} = \sqrt{\frac{-E_6^2}{\eta^{24}}} = \frac{E_6(\tau_N)}{\eta^{12}(\tau_N)} \cdot \zeta$$

mit einer komplexen vierten Einheitswurzel ζ .

Das setzen wir in die Definition für a_N ein und erhalten:

$$\begin{aligned} a_N &:= s_2(\tau_N) \cdot b_N = s_2(\tau_N) \cdot \sqrt{c_N \cdot N \cdot (1728 - j_N)} \\ &= \frac{E_4(\tau_N)}{E_6(\tau_N)} \underbrace{\left(E_2(\tau_N) - \frac{3}{\pi \operatorname{Im}(\tau_N)} \right)}_{=: E_2^*(\tau_N)} \cdot \sqrt{c_N \cdot N} \cdot \frac{E_6(\tau_N)}{\eta^{12}(\tau_N)} \cdot \zeta \\ (17) \quad &= \frac{E_4(\tau_N)}{\eta^8(\tau_N)} \cdot \frac{E_2^*(\tau_N) \cdot \sqrt{-N}}{\eta^4(\tau_N)} \cdot \sqrt{-c_N} \cdot \zeta \end{aligned}$$

Beachte, dass für $N \geq 7$ der Imaginärteil von τ_N groß genug ist, um Lemma 6.12 anwenden zu können. Für $N \geq 7$ gilt also $E_6(\tau_N) \neq 0$, weshalb wir in Gleichung (17) mit $E_6(\tau_N)$ kürzen durften.

- Für den ersten Faktor in Gleichung (17) $X = \frac{E_4(\tau_N)}{\eta^8(\tau_N)}$ gilt $X^3 = \frac{E_4^3}{\eta^{24}} = j_N$; er ist also eine Nullstelle von $P_N(X) = X^3 - j_N$ und somit ganzalgebraisch. Beachte, dass j_N nach Theorem 10.1 ganzzahlig ist.
- Vermutung 10.2 besagt, dass der zweite Faktor in Glg. (17) ganzalgebraisch ist.
- Für den dritten und vierten Faktor mit $X = \sqrt{-c_N} \cdot \zeta$ gilt $X^4 = (c_N)^2$; er ist also eine Nullstelle von $R(X) = X^4 - (c_N)^2$ und somit ebenfalls ganzalgebraisch.

a_N ist also (falls $N \geq 7$) das Produkt ganzalgebraischer Zahlen und somit selbst ganzalgebraisch. Weil wir bereits wissen, dass $a_N \in \mathbb{Q}$ ist (falls $N \neq 4$), folgt aus dem Satz über rationale Nullstellen, dass a_N sogar eine *ganze* Zahl ist (falls $N \in \mathcal{H} - \{3; 4\}$). \square

10.4. Bemerkung. τ_3 und τ_4 liefern keine Formeln zur Berechnung von π .

Begründung. Es gilt $\tau_3 = \frac{3+i\sqrt{3}}{2} = e^{i\pi/3} + 1$ und $\tau_4 = \frac{4+i\sqrt{4}}{2} = i + 2$. Außerdem gilt $J(\tau_3) = J(1 + e^{i\pi/3}) = J(e^{i\pi/3}) = 0$ und $J(\tau_4) = J(i + 2) = J(i) = 1$. Nach Satz 1.3 konvergiert die hypergeometrische Summe in Thm. 9.7 aber nur, falls $|J(\tau)| > 1$ ist. \square

³Deutsch: Wenn τ eine komplexe Lösung einer quadratischen Gleichung mit ganzzahligen Koeffizienten ist und wenn das Gitter L_τ nicht äquivalent zu L_i ist, dann liegt $\Psi(\tau) = \frac{3}{2}s_2(\tau)$ im Körper $\mathbb{Q}[j(\tau)] = \mathbb{Q}[1728J(\tau)]$.

10.5. Theorem. Die J -Funktion und die s_2 -Funktion nehmen die folgenden Werte bei $\tau_N = \frac{N+i\sqrt{N}}{2}$ exakt an, wobei a_N , b_N und c_N die Hilfsgrößen aus Theorem 10.3 sind:

N	$1728J(\tau_N)$	c_N	b_N	a_N	$s_2(\tau_N) = a_N/b_N$
7	-15^3	1	189	45	$5/21$
8	20^3	-1	224	80	$5/14$
11	-32^3	1	616	256	$32/77$
12	$2 \cdot 30^3$	-1	792	360	$5/11$
16	66^3	-2	3024	1584	$11/21$
19	-96^3	1	4104	2304	$32/57$
27	$-3 \cdot 160^3$	1	18216	11520	$160/253$
28	255^3	-1	21546	13770	$85/133$
43	-960^3	1	195048	138240	$640/903$
67	-5280^3	1	3140424	2407680	$33440/43617$
163	-640320^3	1	6541681608	5563100160	$77265280/90856689$

Beweis. Theorem 10.1 besagt, dass die exakten Werte $j_N = 1728J(\tau_N)$ ganzzahlig sind. Auf Seite 28 haben wir Näherungen $1728\tilde{J}(\tau_N)$ berechnet, die nach Theorem 6.1 um höchstens 0,1 vom exakten Wert abweichen. Hieraus folgt, dass j_N genau die Werte aus Theorem 10.5 annehmen muss, weil das die einzigen ganzen Zahlen sind, die hinreichend nahe am Wert der Näherungen von Seite 28 liegen.

Mit Hilfe dieser ganzzahligen j_N berechnen wir dann nach passender Wahl der c_N die in Theorem 10.3 definierten Werte $b_N := \sqrt{c_N \cdot N \cdot (1728 - j_N)}$.

Schließlich multiplizieren wir die Werte der Näherungen $\tilde{s}_2(\tau_N)$ (von Seite 28) noch mit diesen ganzzahligen b_N , um $\tilde{a}_N := \tilde{s}_2(\tau_N) \cdot b_N$ als Näherung für a_N zu erhalten:

$$\begin{array}{lll} \tilde{a}_7 \approx 44,95437 & \tilde{a}_{16} \approx 1583,99964 & \tilde{a}_{43} \approx 138240,00000 \\ \tilde{a}_8 \approx 79,96974 & \tilde{a}_{19} \approx 2303,99995 & \tilde{a}_{67} \approx 2407680,00000 \\ \tilde{a}_{11} \approx 255,99581 & \tilde{a}_{27} \approx 11520,00000 & \tilde{a}_{163} \approx 5563100160,00000 \\ \tilde{a}_{12} \approx 359,99762 & \tilde{a}_{28} \approx 13770,00000 & \end{array}$$

Für $N \geq 7$ gilt $Im(\tau_N) = \sqrt{N}/2 > 1,25$ und wir können die Fehlerabschätzung für $\tilde{s}_2(\tau)$ aus Theorem 6.3 verwenden:

$$\begin{aligned} |\tilde{a}_N - a_N| &= |\tilde{s}_2(\tau_N) - s_2(\tau_N)| \cdot |b_N| \\ &< 31405 \cdot |q|^2 \cdot b_N \\ &\leq 31405 \cdot e^{-2\pi\sqrt{N}} \cdot \sqrt{|c_N| \cdot N} \cdot \sqrt{1728 + |j_N|} \\ &\leq 31405 \cdot e^{-2\pi\sqrt{N}} \cdot \sqrt{2N} \cdot \sqrt{1728 + 1,321 \cdot e^{\pi\sqrt{N}}} < 0,6 \end{aligned}$$

Hier wurde in der letzten Zeile erst die Abschätzung aus Theorem 6.1 und dann der archimedische Wert $\pi > 3,1408$ aus Bemerkung 6.9 verwendet.

Aus der Ganzzahligkeit der a_N in Theorem 10.3 folgt, dass a_N für $N \geq 7$ genau die Werte aus Theorem 10.5 annehmen muss, weil das die einzigen ganzen Zahlen sind, die hinreichend nahe an \tilde{a}_N liegen.

Zusätzlich ist in Thm. 10.5 noch $s_2(\tau_N) = a_N/b_N$ als gekürzter Bruch angegeben. \square

10.6. **Theorem.** Es gelten die folgenden elf Formeln zur Berechnung von π :

$$\frac{\sqrt{15^3}}{\pi} = 3 \cdot \sum_{k=0}^{\infty} \frac{(6k)!}{(3k)!(k!)^3} \cdot \frac{8 + 63 \cdot k}{(-15^3)^k} \quad [5, \text{Gl. (4.1)}]$$

$$\frac{\sqrt{20^3}}{\pi} = 8 \cdot \sum_{k=0}^{\infty} \frac{(6k)!}{(3k)!(k!)^3} \cdot \frac{3 + 28 \cdot k}{(20^3)^k} \quad [2, \text{S. 187}]$$

$$\frac{\sqrt{32^3}}{\pi} = 4 \cdot \sum_{k=0}^{\infty} \frac{(6k)!}{(3k)!(k!)^3} \cdot \frac{15 + 154 \cdot k}{(-32^3)^k} \quad [5, \text{Gl. (4.1)}]$$

$$\frac{\sqrt{2 \cdot 30^3}}{\pi} = 72 \cdot \sum_{k=0}^{\infty} \frac{(6k)!}{(3k)!(k!)^3} \cdot \frac{1 + 11 \cdot k}{(2 \cdot 30^3)^k} \quad [13, \text{Gl. (33)}]$$

$$\frac{\sqrt{2} \cdot \sqrt{66^3}}{\pi} = 48 \cdot \sum_{k=0}^{\infty} \frac{(6k)!}{(3k)!(k!)^3} \cdot \frac{5 + 63 \cdot k}{(66^3)^k} \quad [2, \text{S. 187}]$$

$$\frac{\sqrt{96^3}}{\pi} = 12 \cdot \sum_{k=0}^{\infty} \frac{(6k)!}{(3k)!(k!)^3} \cdot \frac{25 + 342 \cdot k}{(-96^3)^k} \quad [5, \text{Gl. (4.1)}]$$

$$\frac{\sqrt{3 \cdot 160^3}}{\pi} = 36 \cdot \sum_{k=0}^{\infty} \frac{(6k)!}{(3k)!(k!)^3} \cdot \frac{31 + 506 \cdot k}{(-3 \cdot 160^3)^k} \quad [3, \text{S. 371}]$$

$$\frac{\sqrt{255^3}}{\pi} = 162 \cdot \sum_{k=0}^{\infty} \frac{(6k)!}{(3k)!(k!)^3} \cdot \frac{8 + 133 \cdot k}{(255^3)^k} \quad [13, \text{Gl. (34)}]$$

$$\frac{\sqrt{960^3}}{\pi} = 36 \cdot \sum_{k=0}^{\infty} \frac{(6k)!}{(3k)!(k!)^3} \cdot \frac{263 + 5418 \cdot k}{(-960^3)^k} \quad [5, \text{Gl. (4.1)}]$$

$$\frac{\sqrt{5280^3}}{\pi} = 12 \cdot \sum_{k=0}^{\infty} \frac{(6k)!}{(3k)!(k!)^3} \cdot \frac{10177 + 261702 \cdot k}{(-5280^3)^k} \quad [5, \text{Gl. (4.1)}]$$

$$\frac{\sqrt{640320^3}}{\pi} = 12 \cdot \sum_{k=0}^{\infty} \frac{(6k)!}{(3k)!(k!)^3} \cdot \frac{13591409 + 545140134 \cdot k}{(-640320^3)^k} \quad [5, \text{Gl. (4.1)}]$$

Rechts ist jeweils noch die Erstveröffentlichung durch Ramanujan (1914: [13]), die Borwein-Brüder (1987: [2]; 1988: [3]) oder die Chudnovsky-Brüder (1988: [5]) angegeben.

Beweis. Wir formen die Formel aus dem Haupttheorem 9.7 zunächst etwas um, wobei wir die Abkürzungen aus den Theoremen 10.1 und 10.3 verwenden:

$$\begin{aligned} \frac{1}{2\pi Im(\tau)} \sqrt{\frac{J(\tau)}{J(\tau) - 1}} &= \sum_{k=0}^{\infty} \left(\frac{1 - s_2(\tau)}{6} + k \right) \cdot \frac{(6k)!}{(3k)!(k!)^3} \cdot \frac{1}{(1728J(\tau))^k} \\ \frac{1}{\pi\sqrt{N}} \sqrt{\frac{j_N}{j_N - 1728}} &= \sum_{k=0}^{\infty} \left(\frac{1 - a_N/b_N}{6} + k \right) \cdot \frac{(6k)!}{(3k)!(k!)^3} \cdot \frac{1}{(j_N)^k} \\ \frac{1}{\pi} \sqrt{\frac{-c_N \cdot j_N}{c_N \cdot N \cdot (1728 - j_N)}} &= \sum_{k=0}^{\infty} \left(\frac{b_N - a_N}{6b_N} + k \right) \cdot \frac{(6k)!}{(3k)!(k!)^3} \cdot \frac{1}{(j_N)^k} \quad \Big| \cdot b_N \\ \frac{\sqrt{-c_N \cdot j_N}}{\pi} &= \sum_{k=0}^{\infty} \frac{(6k)!}{(3k)!(k!)^3} \cdot \frac{\frac{b_N - a_N}{6} + b_N \cdot k}{(j_N)^k} \end{aligned}$$

Hier setzen wir die Werte für a_N , b_N , c_N und j_N aus Thm. 10.5 ein, klammern den größten gemeinsamen Teiler von $(b_N - a_N)/6$ und b_N aus der Summe aus und erhalten obige elf Formeln zur Berechnung von π – die letzte davon ist die Chudnovsky-Formel. \square

LITERATUR

- [1] Natália Archinard. *Abelian varieties and identities for hypergeometric series*. ETH Zürich, 2000.
<https://doi.org/10.3929/ethz-a-004070858>.
- [2] Jonathan M. Borwein and Peter B. Borwein. *Pi and the AGM: A Study in the Analytic Number Theory and Computational Complexity*. Wiley-Interscience, New York, 1987.
- [3] Jonathan M. Borwein and Peter B. Borwein. More ramanujan-type series for 1/pi. *Ramanujan revisited: proceedings of the centenary conference*, 1988.
<http://www.cecm.sfu.ca/personal/pborwein/PAPERS/CP4.pdf>.
- [4] Imin Chen and Gleb Glebov. On chudnovsky-ramanujan type formulae. *The Ramanujan Journal*, Oct 2017. <https://doi.org/10.1007/s11139-017-9948-8>.
- [5] David V. Chudnovsky and Gregory V. Chudnovsky. Approximation and complex multiplication according to ramanujan. *Ramanujan revisited: proceedings of the centenary conference*, 1988.
- [6] Thomas Clausen. Ueber die Fälle, wenn die Reihe von der Form $y = 1 + \dots$ etc. ein Quadrat von der Form $z = 1 \dots$ etc. hat. *Journal für die reine und angewandte Mathematik*, 3(3):89–91, 1828.
http://www.digizeitschriften.de/dms/img/?PID=PPN243919689_0003&physid=phys94.
- [7] Eberhard Freitag und Rolf Busam. *Funktionentheorie 1*. Springer, Berlin, Heidelberg, 2006.
<https://doi.org/10.1007/978-3-662-07352-0>.
- [8] Thomas Little Heath. *The Works of Archimedes*. Cambridge University Press, London, 1897.
<http://www.archive.org/details/worksofarchimed029517mbp/>.
- [9] Hendrik Kasten. *Die Ramanujankonstante*. Uni Heidelberg, 2013.
<https://www.mathi.uni-heidelberg.de/~kasten/files/Skripte/ss10ramanujan.pdf>.
- [10] Felix Klein und Robert Fricke. *Vorlesungen über die Theorie der elliptischen Modulfunctionen, Bd.1: Grundlegung der Theorie*. Teubner, Leipzig, 1890.
<https://archive.org/details/vorlesungenber05kleigoog>.
- [11] Serge Lang. *Elliptic Functions*. Springer, New York, 1987.
- [12] David W. Masser. *Elliptic Functions and Transcendence*. Springer, Berlin, Heidelberg, 1975.
- [13] Srinivasa Ramanujan. Modular equations and approximations to π . *Quarterly Journal of Mathematics*, 45:180, 350–372, 1914. <http://ramanujan.sirinudi.org/Volumes/published/ram06.pdf>.
- [14] Joseph Silverman. *Advanced topics in the arithmetic of elliptic curves*. Springer, New York, 1994.
- [15] Willebrord Snell. *Cyclometricus*. Elsevier, 1621.
<https://books.google.de/books?id=kZg-AAAAcAAJ>.
- [16] Andre Weil. *Elliptic functions according to Eisenstein and Kronecker*. Springer, Berlin, New York, 1976.